

XLVII Reunión de APMur
Hospital Universitario Los Arcos del Mar Menor
8 de abril de 2016

Patología Digital Nociones y Sugerencias

Luis Alfaro
H. Virgen del Consuelo. Valencia
H. Rey Don Jaime. Castellón

En Patología Digital lo sustantivo es la
Patología,
lo Digital es accesorio, pero es un
poderoso complemento.

Formación en tecnología de información

- En Patología :
 - You only see what you know, and the tendency of most pathologists is if you see something you try to put in one of the boxes that have already been graded and if you can not you do one of two things: you say it must be one atypical case of this, or you say well I'm not good enough to recognize it.

Juan Rosai *

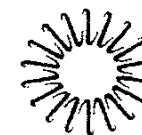
- En tecnologías de la información sin una base de conocimiento no se puede utilizar implementar o solicitar una nueva incorporación tecnológica

Modern Pathology 2015. 28 (11): 1518



BIOINFORMATICS SCIENTIST DEPARTMENT OF PATHOLOGY

Lifespan Academic Medical Center
(The Miriam Hospital and Rhode Island Hospital)



Lifespan

The Department of Pathology at The Miriam Hospital and Rhode Island Hospital is seeking a bioinformatics scientist to join the Lifespan Academic Medical Center. Minimum requirements include: M.S. or Ph.D. or M.D. in a field related to analysis of genetic sequence data along with expertise and experience in bioinformatics and/or biomedical informatics. Additional certification in medical genetics or biomedical molecular diagnostics will be favorably considered.

- Basic knowledge of molecular biology and genomics
- Proficient in Python, or similar programming language, and Linux/Unix/Mac environment
- Experience in analyzing next generation sequencing (NGS) data (DNA-seq, RNA-seq etc.) is strongly preferred
- Familiarity with commonly used databases and bioinformatics tools for NGS data analysis (eg. BEDTools, SAMtools, IGV, ANNOVAR, Bowtie, GATK, ChimeraScan, UCSC Genome Browser, Galaxy, etc.)
- Experience with R, Perl, Java, HTML/CSS, SPSS/SAS or similar, and SQL is preferred
- Experience developing analysis and reporting pipelines for clinical tests is preferred.

Faculty appointment is available at a rank of Assistant Professor in the Department of Pathology and Laboratory Medicine at Warren Alpert Medical School of Brown University, based on experience and qualifications.

Department of Pathology

John Hopkins. Baltimore

Division of Informatics



PATHOLOGY REPORT

U.R....85586

PATIENT'S NAME

GREY

Richard

AGE

WARD

MEDICAL OFFICER

DATE RECEIVED

28.12.66

75

Skin

Dr. Kyggett

LAB. REF. NUMBER

BH66CK69

Histology - Skin R. leg - Chronic dermatitis. No evidence of malignancy seen. Excision appears complete in plane of section.

01.4300

T01-M4300

TB — 600 x 100 — 7/66

DR.

SIGNED.....

DATE.....

30 12 66

Pathologist

Pio del Rio Hortega

Las publicaciones histológicas han de ser eminentemente objetivas. No basta hacer descripciones verbales. Es preciso mostrar lo que se haya visto para que su interpretación adquiera un valor auténtico.

*Archivos de Histología Normal y Patológica.
Buenos Aires*



**HOSPITAL NISA
9 de Octubre**

Tfn 96 317 91 00
Fax 96 346 00 33
Valle de la Ballestera, 59 46015 VALENCIA
9octubre@hospitales.nisa.es
www.hospitales.nisa.es

Nombre: [REDACTED]
Episodio: A2089192
Compañía: SEGURCAIXA ADESLAS
Fecha de Exploración: 11/09/2014
Pedido por: BADIA PICAZO, M^a DEL CARMEN

[Handwritten signature]

Dra. NUÑEZ OBESO ANA M^a
Nº de Colegiado 464620335
Fecha de Informe: 15 de septiembre de 2014

**INFORME RADOLÓGICO
RM CEREBRAL Y MEDULAR**

INFORMACION CLÍNICA: Alteración vía piramidal a estudio.

CEREBRAL
ESTUDIO EFECTUADO: RM de cabeza con imágenes en los 3 planos del espacio potenciadas en T1, T2, T2* y FLAIR. Difusión.

INFORME:
No apreciamos alteraciones morfológicas ni de intensidad de señal significativas en parénquima cerebral, cerebelo y tronco encefálico, sin signos de lesión isquémica, hemorrágica o de lesión ocupante de espacio.
Estructuras de línea media centradas.
Sistema ventricular y cisternas basales de morfología, tamaño e intensidad de señal normal.
Transición occipito-cervical de características normales.

CERVICO-DORSO-LUMBAR
ESTUDIO EFECTUADO: RM de columna con imágenes sagitales y transversales potenciadas en T1, T2, Stir.

INFORME:
En T7-T8 se aprecia focalización herinaria discal posterocentral que impronta y remodela sobre cara anterior del cordón medular, sin alteración de señal medular.
Médula cervical, resto del cordón dorsal, cono medular y filum terminal de morfología y señal normal.
Acentuada curvatura cifótica dorsal con moderado acuñamiento vertebral anterior del soma de T7, sin signos de fractura o edema óseo.
Disminución de altura y de señal por deshidratación de discos intervertebrales en T7-T12.
Forámenes radiculares libres.
Sin otros hallazgos a destacar.

9 DE OCTUBRE
HOSPITAL 9 DE OCTUBRE
Valle de la Ballestera 59
46015 Valencia (España)
Tel (34) 96 317 91 00
www.hospitales.nisa.es

Nombre: KRAVCHENKO OLENA
ID Paciente: H90_350328
Estudio: 4-CE+CC+CD+CL
Fecha: 11 sep 2014





MALKIEWICZ, JUDITH A
MRN: 535166
DOB: 12/8/1950, Sex: F
Enc. Date: 03/09/12

Order

SURGICAL PATHOLOGY REQUEST [LAB3421 (Custom)] (Order 94663744)

Entry Date

3/21/2012

Result Narrative

FINAL DIAGNOSIS

Bone marrow core biopsy and aspirate, site not specified:

- Recurrent plasma cell myeloma (see comment)

COMMENT

Flow cytometric analysis of the specimen showed a monoclonal population of plasma cells expressing cytoplasmic kappa light chain and CD56. Cytogenetic analysis revealed a complex karyotype (see CGL report 12BM-0518). FISH showed gain of 1q21 sequence in 36.5% of cells and the IGH/FGR3 rearrangement in 32.5% of cells (CGL accession no. 12FS-0808).

CLINICAL HISTORY

A 61-year-old female with IgG, kappa and multiple myeloma, status post single auto stem cell transplant, now with concern for relapsing disease. Preop dx: Not provided.

MICROSCOPIC DESCRIPTION

> 50 %

Morphologic features of the peripheral smear are consistent with CBC values.

The core biopsy cellularity is 80%. Immunohistochemical staining for CD138 and kappa and lambda light chain shows over half of the marrow cellularity to be occupied by monoclonal, kappa-restricted plasma cells. M:E ratio of residual erythroid and granulocytic precursors is 1:1. Megakaryocytes are present. Reticulin is mildly to moderately increased.

There is one spicule on the single aspirate smear. Around the spicule, there are increased numbers of plasma cells. There are also scattered erythroid and granulocytic precursors. Iron stores are increased; ringed-sideroblasts are not identified.

CBC:
WBC 3.5 x10⁹/L
HGB 11.4 g/dL
HCT 33.3 %
MCV 118.0 fL
RDW 13.9
PLTS 118 x10⁹/L



AFFILIATED
PATHOLOGISTS
MEDICAL
GROUP

19951 Mariner Ave.
Suite 155
Torrance, CA
90503

V: 310.225.3221
F: 310.698.7040
www.affiliatedpath.com

P#: P11-Sample-8 (P1-Sample-11)

Patient: SAMPLE, DARLENE

Clinician: Dr. Parnell

DOB: 11/25/1957

SSN:

Age/Sex: 52F

MR#:

Collected: 1/29/11

Received: 1/29/11

Reported: 2/2/11

Surgical Pathology Report

Infiltrating Ductal Carcinoma, Right Breast

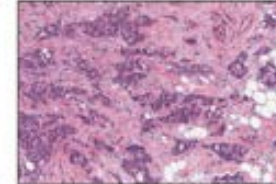
DIAGNOSIS

1. Infiltrating Ductal Carcinoma, Moderately Differentiated (SBR score 6), Right Breast Core Biopsies.
2. Ductal Carcinoma in situ, high grade.

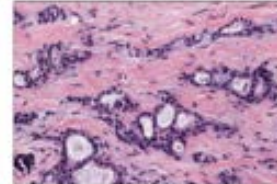
NOTE: breast marker analysis is pending (IHC and FISH) and an addendum report will be issued. The results were reviewed by Dr. Mary Beth Shwayder who concurs. Report was faxed to Dr. Surgeon's office on 2/5/11.



Core Biopsies, Low Power



Infiltrating Ductal Carcinoma



Focal Gland Formation

CLINICAL HISTORY: palpable right breast mass; calcifications on mammogram

SITES: right breast core biopsies

GROSS: Received in formalin are 4 cores of white and yellow tissue, each measuring 2.0 X .03 cm in diameter. Totally embedded in one cassette. MS/ad

MICROSCOPIC: Sections reveal infiltrating ductal carcinoma. The tumor is composed of irregular nests and cords of cells with focal gland formation. Individual cells have irregular nuclei and small nucleoli. Well formed glands make up less than 20% of the tumor. Mitoses are occasionally encountered and these number 4 per 10 hpf. The tumor elicits a desmoplastic stromal reaction. Calcifications are seen within a few neoplastic ducts as well as the stroma. There is a focus of ductal carcinoma in situ involving one core. Nuclei are large and have prominent nucleoli. The duct lumen is filled with necrotic debris. All four core biopsies contain infiltrating carcinoma; the longest tumor segment is 1.7 cm in a 2cm core.

Breast Marker analysis is pending and an addendum report will be issued.
ad/pmp

PREVIOUS BX/PAP HISTORY: FNA cyst left breast, benign (5/5/2005)

REFERENCES/URLS: www.mybiopsy.org/breast_cancer

E-signed by: Alessandro DeVito, MD (310-225-3XXX); secondary review by Mary Beth Shwayder, MD

Torrance Rel ID: 19-992982+CA Lic: CLF1180+CLIA in Denver Medical Director: Alfred Lin, MD, Eric F. Glass, MD
Monrovia Rel ID: 19-992982+CA Lic: CLF1179+CLIA in Denver Medical Director: Alfred Lin, MD, Eric F. Glass, MD



Informe Anatomopatológico

D.^a

Hab. 315

Nº 1008/12

Dr. Alejandro Marín-Buck Gómez

Fecha de entrada: 22/02/12

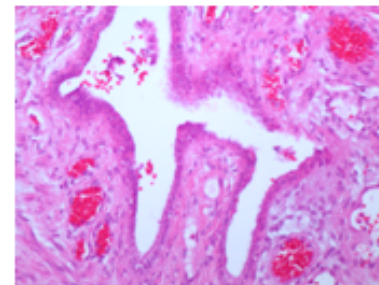
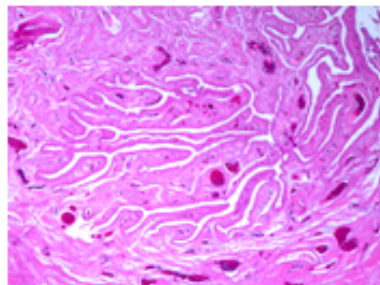
DESCRIPCIÓN MACROSCÓPICA

Piezas de salpingectomía parduzcas y negruzcas que miden 2,3 x 0,7 y 1,5 x 0,8 cm.



DESCRIPCIÓN MICROSCÓPICA

Ambas trompas muestran un aspecto histológico semejante con numerosas estructuras papilares distribuidas en la luz tubárica [Imagen 1, 40x] y tapizadas por células cilíndricas de ribete superficial ciliado y núcleos redondeados monomorfos [Imagen 2, 200x]. Centralmente se aprecian ejes fibroconectivos con vasos de pequeño calibre. En periferia se observa una banda concéntrica de tejido fibromuscular y algunos vasos de gruesa pared.



DIAGNÓSTICO ANATOMOPATOLOGICO

Trompas izquierda y derecha:

Identificación positiva. No muestran cambios patológicos.

ESTUDIO INMUNOHIS'

Se realiza estudio inmunodiagnóstico morfológico muestra procesada de ~~nr~~ inclusión en parafina.

Fijador: formol tamponado
Tiempo antes de la fijación: 24 h
Tiempo de fijación: 24 h
Método de evaluación: se

Idoneidad de la muestra:

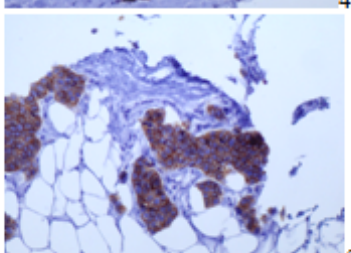
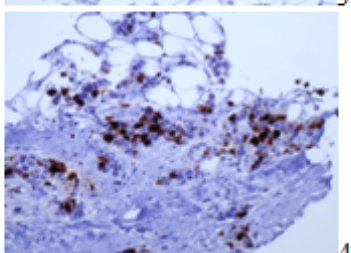
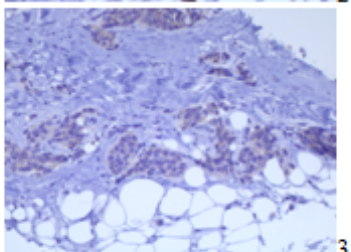
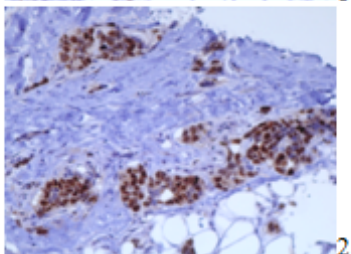
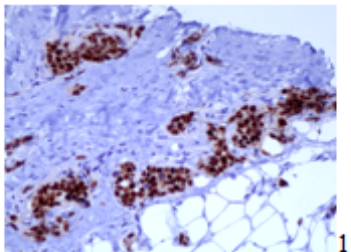
Receptores estrogénicos
Positivos (90%) [Imagen 1]

Receptores de progesterona
Positivos (80%) [Imagen 2]

HER-2 (clon SP3 Ventana)
Negativo (-/++) [Imagen 3]

Ki67 (clon SP6 Ventana)
40% [Imagen 4, 200 \times]

E-cadherina (clon EC109 Ventana)
Positiva [Imagen 5, 200 \times]



D.

Hab. 214

Nº 5075/12

Dr. José María Gualdrón Rovira

ESTUDIO MOLECULAR K-RAS / B-RAF

La detección incluye tres fases: (1) Extracción de ADN con el Kit FFPE QIAamp® de Qiagen, (2) amplificación de segmentos de los genes con ~~primera~~ marcados con biotina, y (3) hibridación de los productos de amplificación en tiras que contienen sondas de oligonucleótido alelo-espécifico fijadas en líneas paralelas, y que se visualizan utilizando ~~estriptavidina-fosfatasa-alcalina~~ y sustrato de color.

RESULTADO:

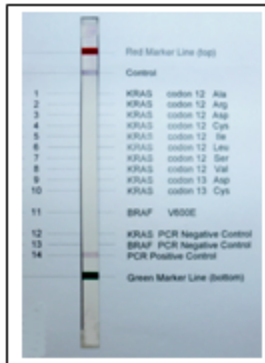
Ausencia de mutaciones.

INTERPRETACIÓN

En el ADN extraído de la muestra tisular no se han identificado mutaciones en los genes K-RAS ni B-RAF. Esto indica posibilidad de respuesta a la terapia anti-EGFR (~~cetuximab, panatumumab~~).

MUTACIONES ANALIZADAS.

Se estudian 10 mutaciones para el gen K-RAS en los codones 12 y 13, que representan más del 98% de las mutaciones descritas: codón 12 Gly-Ala, codón 12 Gly-Arg, codón 12 Gly-Asp, codón 12 Gly-Cys, codón 12 Gly-Ile, codón 12 Gly-Leu, codón 12 Gly-Ser, codón 12 Gly-Val, codón 13 Gly-Asp, codón 13 Gly-Cys. La sensibilidad de la técnica permite detectar desde un 1% de ADN mutado entre un fondo de ADN no mutado. Se analiza además la mutación más frecuente de B-RAF (V600E).



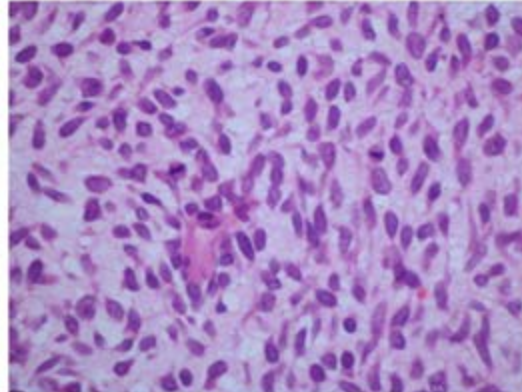
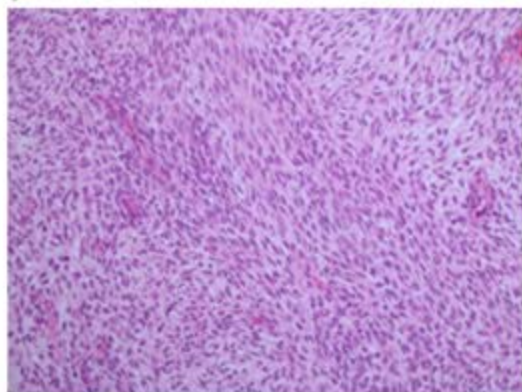
• → DESCRIPCIÓN MACROSCÓPICA

- → Se remite para estudio intraoperatorio. 1° 20cc de líquido pericárdico. Los extensos citólitos revelan celulitis inflamatoria. 2° Tres fragmentos que miden entre 1 y 0.6 cm. Los cortes por congelación no muestran focos neoplásicos. 3° Nódulo hemático y amarillento que mide 4.5 x 4 x 1.5 cm. Los cortes por congelación muestran proliferación neoplásica compatible con sarcoma. → → Posteriormente y para estudio en difusión se recibe frasco que contiene varios fragmentos blanquecinos y pardos que miden entre 4 y 1 cm.



• → DESCRIPCIÓN MICROSCÓPICA

- → Las secciones de la tumoración muestran una proliferación neoplásica de estipe mesenquimal de crecimiento difuso y fascículos fusiformes de límites imprecisos [Imagen 1, 200x]. Las células neoplásicas tienen núcleo ovóideo de cromatina homogénea con discreto pleomorfismo y una tasa mitótica que alcanza 25 x 10 campos de gran aumento. La lesión muestra en penfeta fenómenos de hemorragia y componente inflamatorio, los fragmentos remitidos de forma difusa revelan entre focos neoplásicos fragmentos de pared cardíaca con depósitos de fibroma. → → Realizado estudio inmunohisto-químico (ver informe adjunto) la lesión revela expresión de vimentina y de marcadores de estipe muscular (deshmina y calponina). Actina y nestinina (marcador de músculo estriado) son negativos. Hay expresión débil para citoqueratina (ck7 y AE1/AE3), y molasa. S100, cd34, cd99, EMA, son todos negativos. Ki67 muestra un índice de proliferación en torno al 25%. El neuromofotipo corresponde a un sarcoma miogénico del tipo leiomiosarcoma.



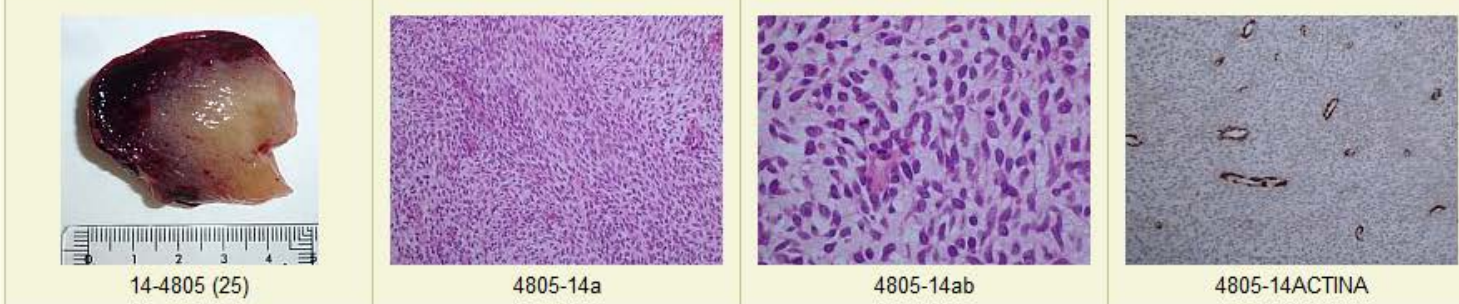
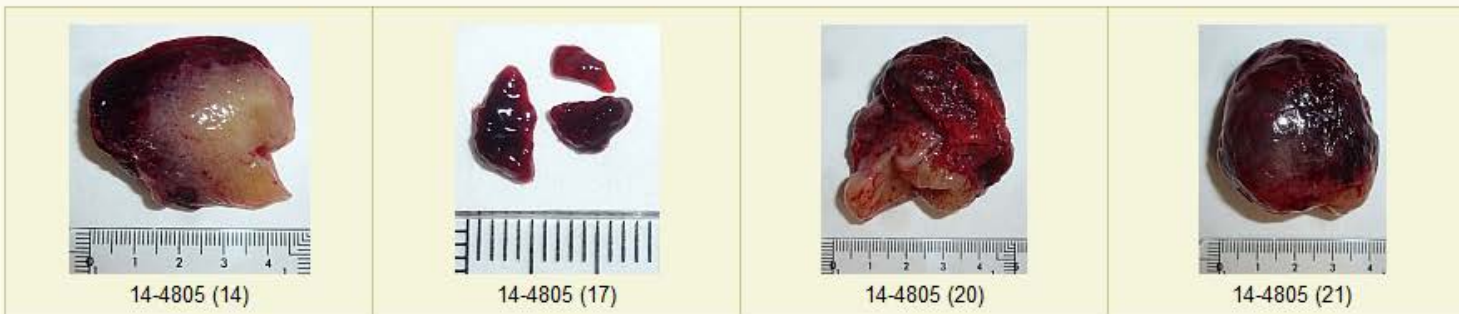
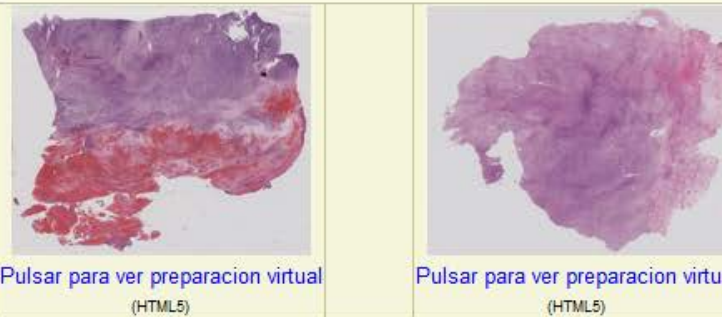
→ → → → → → <http://digipat.org/HRJ/14/fh/4805>

DIAGNOSTICO ANATOMOPATOLOGICO

Tumoración auricular derecha:

→ → → → Sarcoma miogénico (leiomiosarcoma)

4805-14



Informe Anatomopatológico

D.

Hab. 214

Nº 5075/12

Dr. José María Quílez Rovira

Fecha de entrada: 08/11/12

DESCRIPCION MACROSCOPICA

Pieza de resección intestinal correspondiente a recto, que tras fijación mide 20 cm de longitud [Imagen 1]. Muestra tumoración lobulada y excrecente de 5,5 cm de longitud, que afecta toda la circunferencia intestinal [Imagen 2]. A la sección revela infiltración parietal completa. En la grasa perintestinal se identifican 15 ganglios, el mayor de ellos de 1,2 cm de diámetro.



DESCRIPCION MICROSCOPICA

Las secciones histológicas de la tumoración intestinal muestran una proliferación neoplásica que configura estructuras glandulares irregulares con patrones cribiformes, fusión de epitelios, y pequeñas áreas cordónales. Se observa infiltración transmural alcanzando la grasa subserosa. La tumoración muestra extensos lagos de mucina extracelular [Imagen 3, 40x] que representan mas del 50% del volumen tumoral. Es por tanto encuadable en un carcinoma coloide (mucinoso). Las células muestran núcleo hiperchromático atípico, con frecuentes mitosis. La lesión muestra múltiples implantes inconexos en la grasa perintestinal. En algunos de ellos se identifican restos de tejido linfóide de adenopatías previas, y tienen morfología redondeada. Otros tienen márgenes ~~espículados~~, por lo que probablemente representan implantes tumorales sobre grasa, sin adenopatías previas. Hay 4 adenopatías identificables ~~metastatizadas~~. [Imagen 4, 20x].

Se enviará informe adicional con estudio molecular para mutaciones de K-ras.

DIAGNÓSTICO ANATOMOPATOLOGICO

Resección de recto:

Adenocarcinoma de tipo coloide con infiltración transmural.
Márgenes quirúrgicos libres de lesión.

Ganglios perintestinales (15): Metástasis en cuatro de ellos.
Estadio IIIB (pT3 pN2a G1).

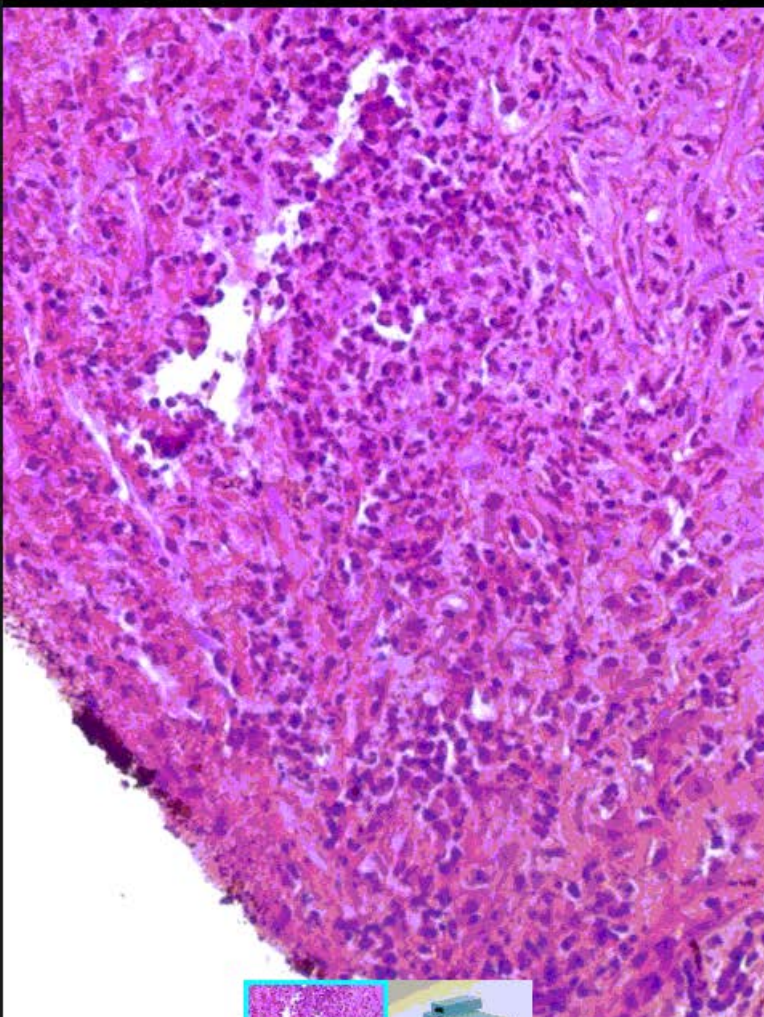
- Lo digital no nos hace mejores patólogos, pero aumenta nuestra capacidad de trabajo, e incrementa enormemente nuestra visibilidad

Star Trek 1966



Telepatología

- En la era de la conectividad el concepto de telepatología ha perdido (cambiado) su esencia
- Todos llevamos encima dispositivos de enormes capacidades de conexión remota.



Compartir



Bluetooth



Compartir como
código QR



Correo electrónico



Decodificar
código QR



Drive



Hangouts



Maps



Mensajes

Telepatología

- La conexiones remotas con el hospital deben hacerse con VPN (red privada virtual), que garantiza la seguridad de la misma.
- TEAM VIEWER es una potente solución alternativa:
 - Gratuita
 - Portable
 - Atraviesa proxys firewall...

Control remoto

Transferencia de archivos

Panel

Captura de pantalla

Aplicaciones

Procesos

Configuración

Chat

La conexión se ha establecido satisfactoriamente.

09:45

Escriba su mensaje aquí



Enviar

Nombre ▲

PID

Uso de memoria

Tiempo de ejecución

▼ Aplicaciones

Pushbullet

4347

2.24 MB

3d 17h 10m



QuickSupport

6577

19.06 MB

7m



QuickSupport Add-On Samsung

7567

4.92 MB

0m

▼ Otros



Activa

2240

15.69 MB

3d 17h 11m



Actualización de software

6264

5.20 MB

13m



Almacen. de seguridad

1968

40.15 MB

3d 17h 12m

Aplicación Google

8296

6.65 MB

3d 14h 59m



Aplicación MTP

5936

4.99 MB

16m



com.sec.android.app.keyguard

4407

4.37 MB

3d 17h 10m

com.sec.android.providers.download

6188

8.08 MB

1d 47m



Compartir Bluetooth

2538

5.14 MB

3d 17h 11m

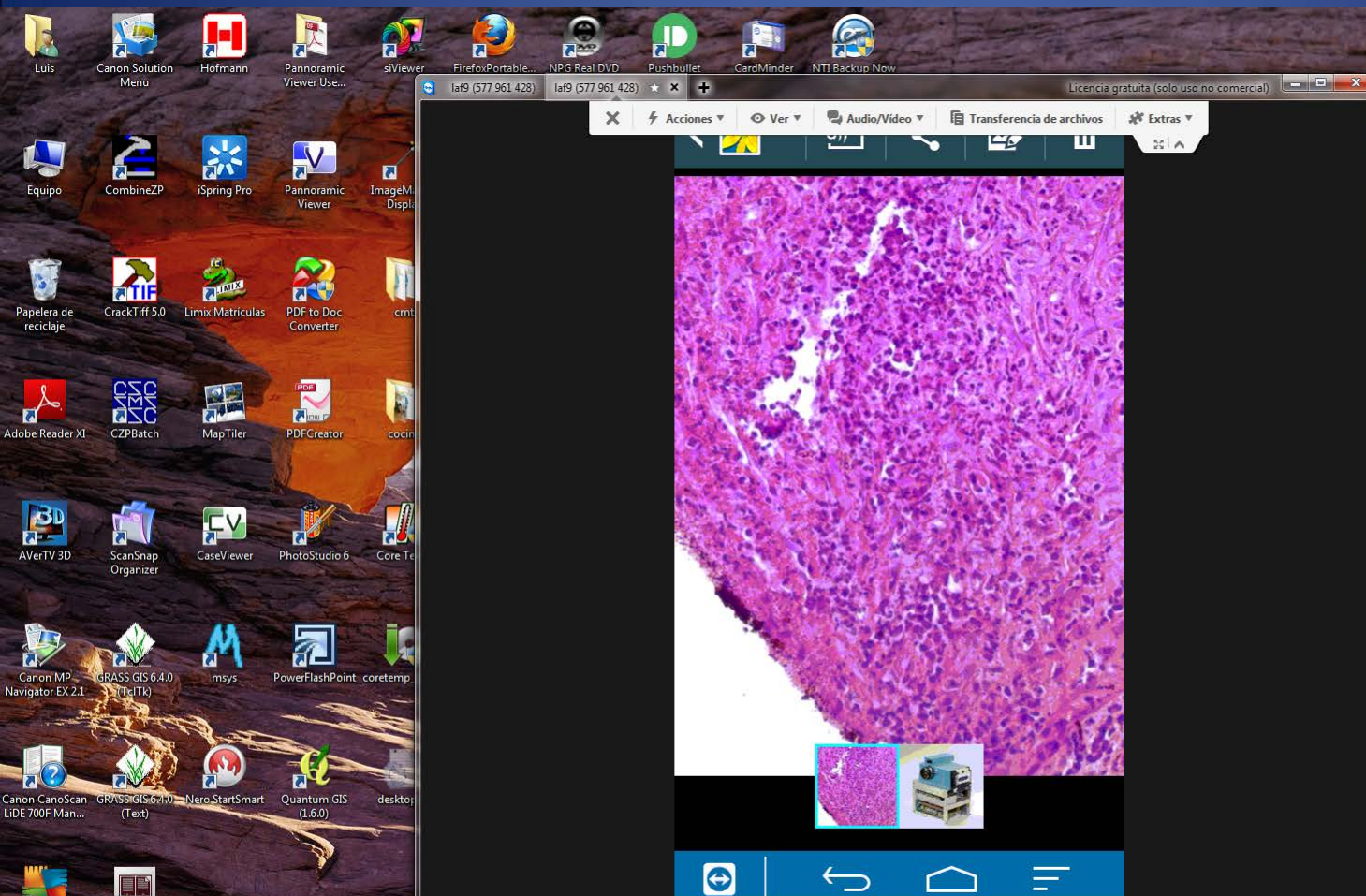


Contactos

22262

6.47 MB

1d 15h 26m



Portabilidad



Portabilidad en Telepatología

<http://arstechnica.com/gadgets/2015/04/intels-compute-stick-a-full-pc-thats-tiny-in-size-and-performance/>



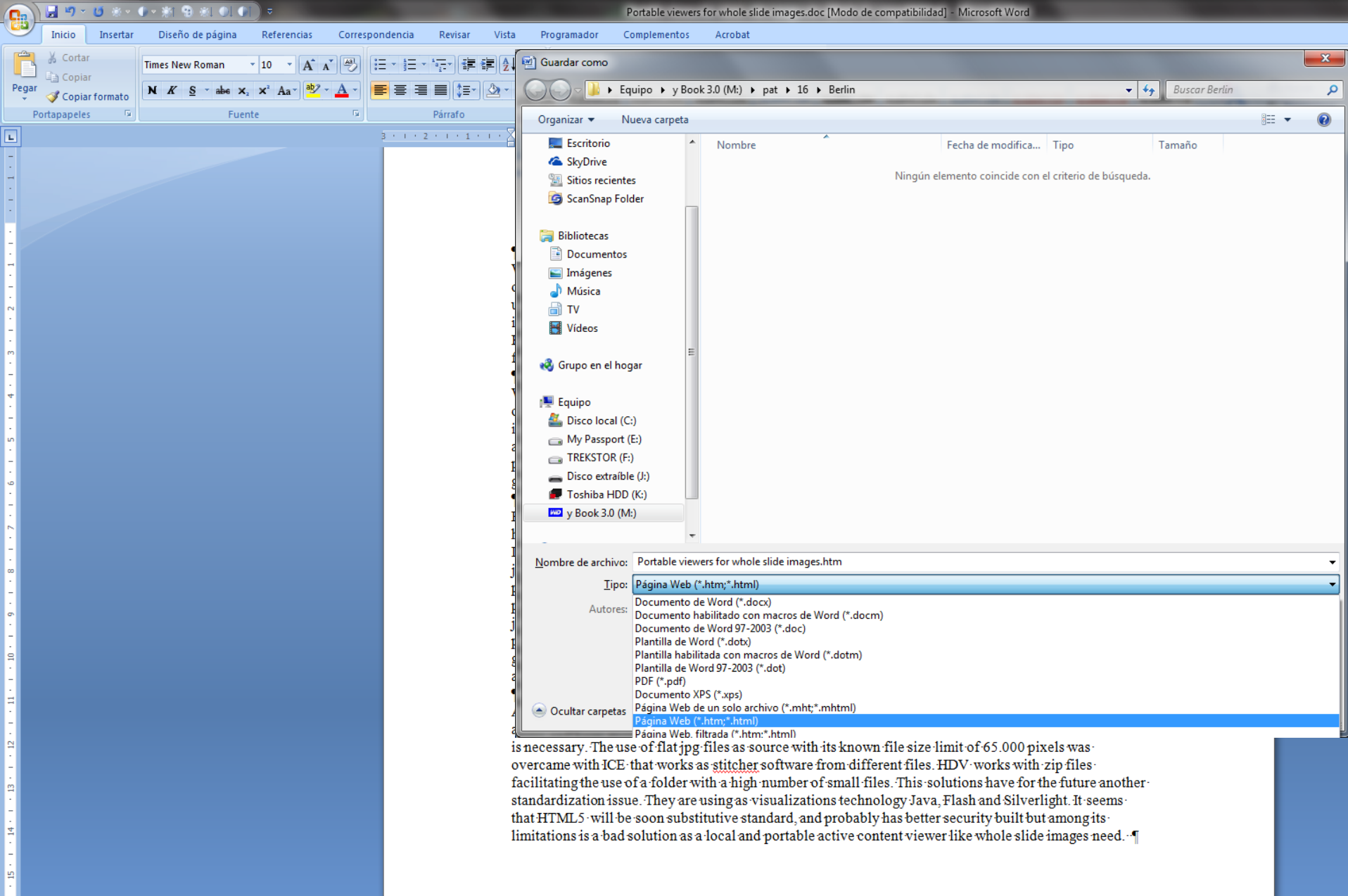
Diseño web

```
<html>
  <head>
    </head>
<body>
  <a href="http://arhipa.org">
    Archivo de Patología</a>
  
</body>
</html>
```

Archivo de Patología

SeAP-IAP

[Sociedad Española de Anatomía Patológica]
[International Academy of Pathology]



PatologíaDigital.ppt [Modo de compatibilidad] - Microsoft PowerPoint

Guardar como

Organizar Nueva carpeta

Nombre: PatologíaDigital.ppt

Fecha de modificación: 05/04/2016 11:01

Tipo: Presentación de PowerPoint 97-2003 (*.ppt)

Autores:

Ocultar carpetas

Nombre de archivo: PatologíaDigital.ppt

Tipo: Presentación de PowerPoint 97-2003 (*.ppt)

Presentación de PowerPoint (*.pptx)

Presentación de PowerPoint habilitada para macros (*.pptm)

Presentación de PowerPoint 97-2003 (*.ppt)

PDF (*.pdf)

Documento XPS (*.xps)

Plantilla de PowerPoint (*.pot)

Plantilla de habilitada para macros de PowerPoint (*.potm)

Plantilla de PowerPoint 97-2003 (*.pot)

Tema de Office (*.thmx)

Presentación con diapositivas de PowerPoint (*.ppsx)

Presentación con diapositivas de PowerPoint habilitada para macros (*.ppsm)

Presentación con diapositivas de PowerPoint 97-2003 (*.pps)

Complemento de PowerPoint (*.ppan)

Complemento de PowerPoint 97-2003 (*.ppa)

Presentación XML de PowerPoint (*.xml)

Página Web de un solo archivo (*.mht; *.mhtml)

Página Web (*.htm; *.html)

Formato de intercambio de gráficos GIF (*.gif)

Formato de intercambio de archivos JPEG (*.jpg)

Formato de gráficos de red portátiles PNG (*.png)

Formato TIFF (*.tif)

Mapa de bits independiente del dispositivo (*.bmp)

Metarchivo de Windows (*.wmf)

Metarchivo de Windows mejorado (*.emf)

Esquema con formato RTF (*.rtf)

Presentación de OpenDocument (*.odp)

Haga clic para agregar notas

Cortar Copiar Copiar formato Portapapeles

Diseño Nueva diapositiva Restablecer Eliminar

Diapositivas Esquema

Diseño web

Star Trek 1966

Portabilidad en Telepatología

Portabilidad

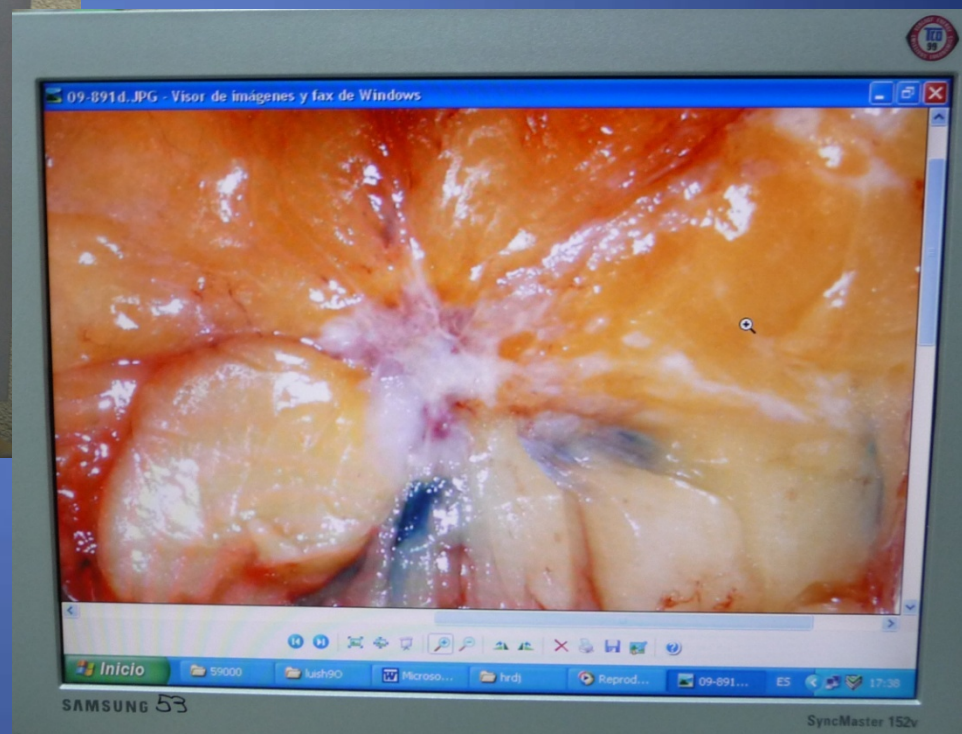
Telepatología

Diagnóstico remoto intraoperatorio



Telepatología

Diagnóstico remoto intraoperatorio



Telepatología

Diagnóstico remoto intraoperatorio







Telepatología

Emisión de video en tiempo real

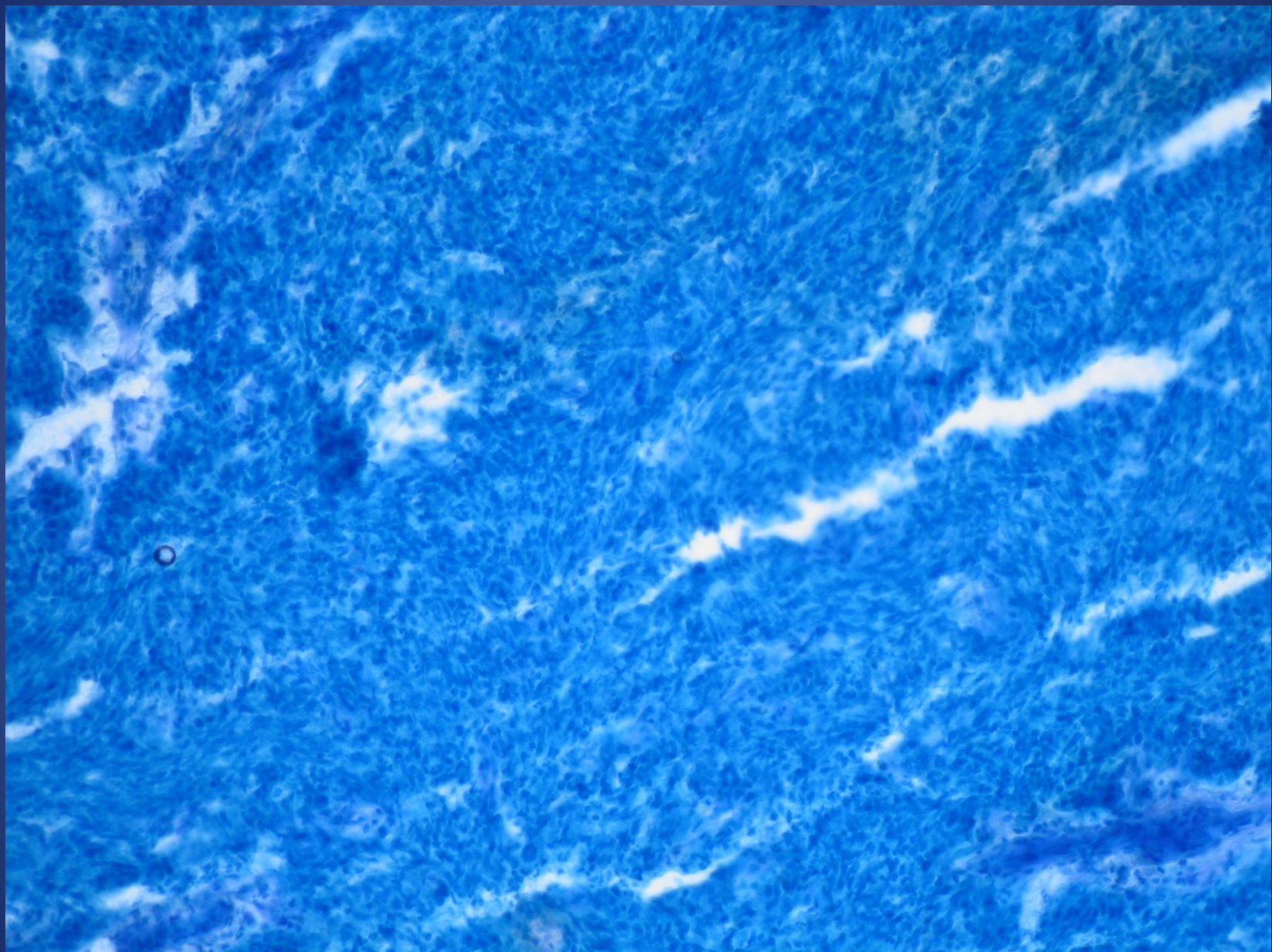


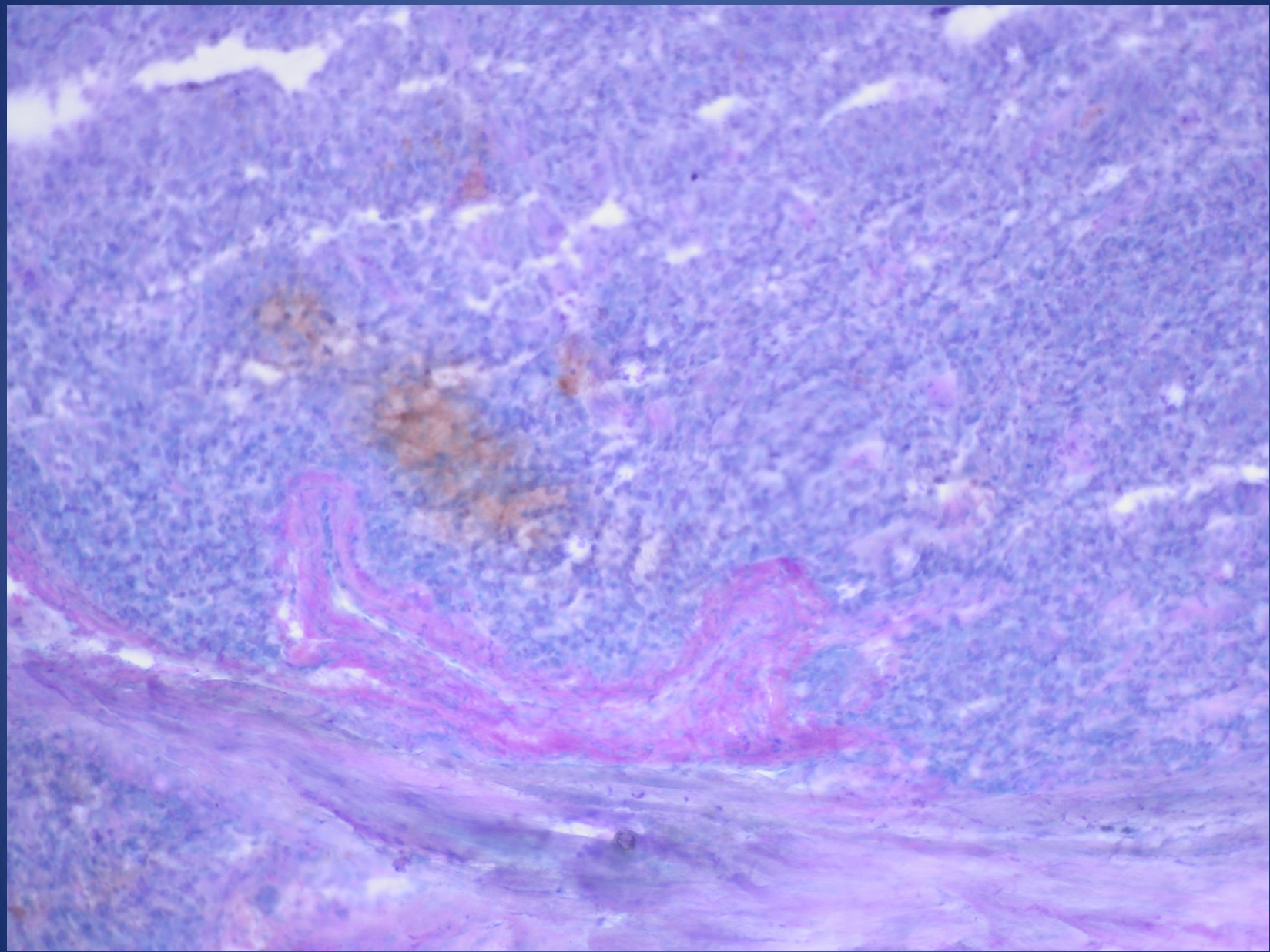
Telepatología

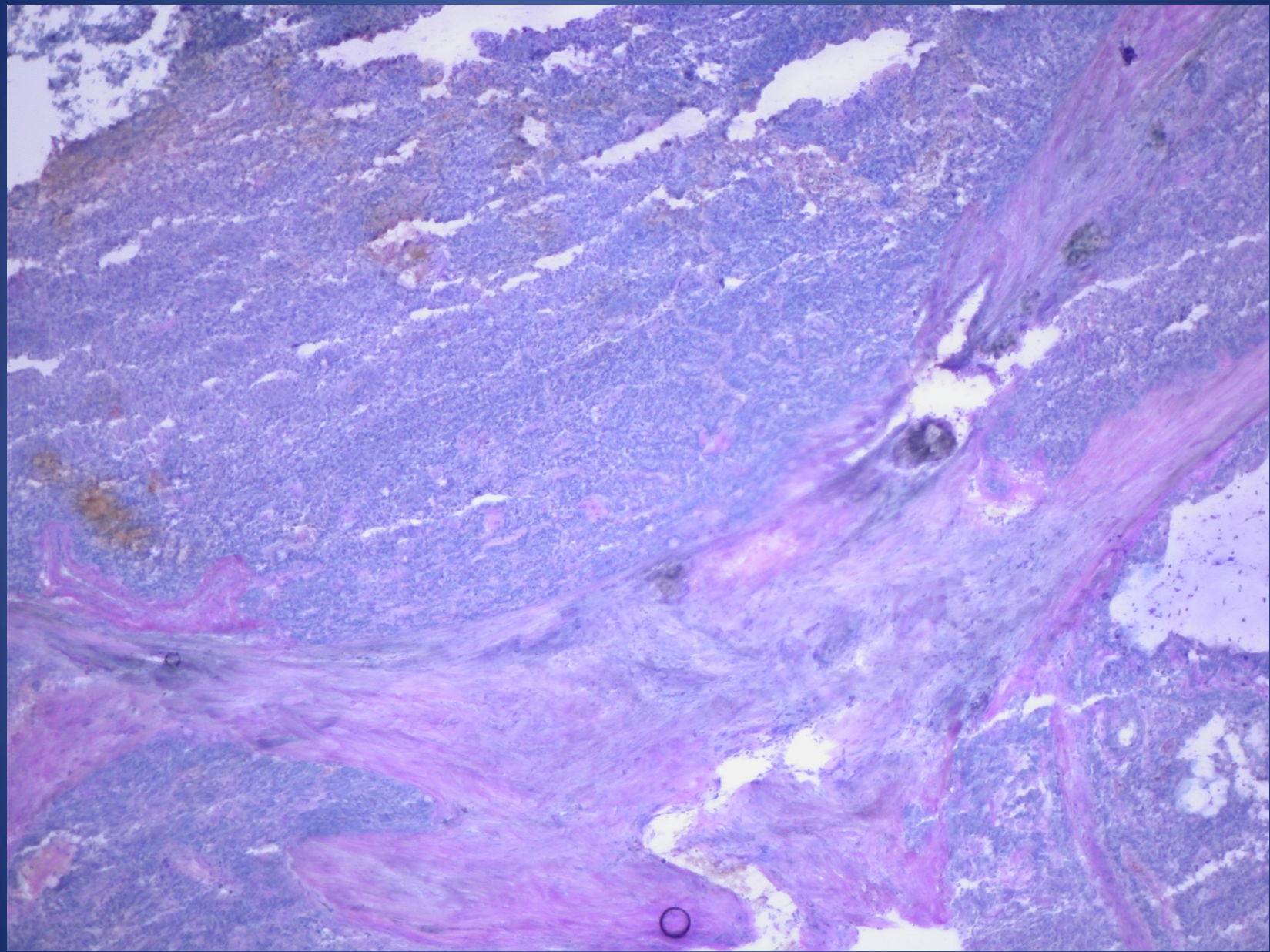
Diagnóstico remoto intraoperatorio

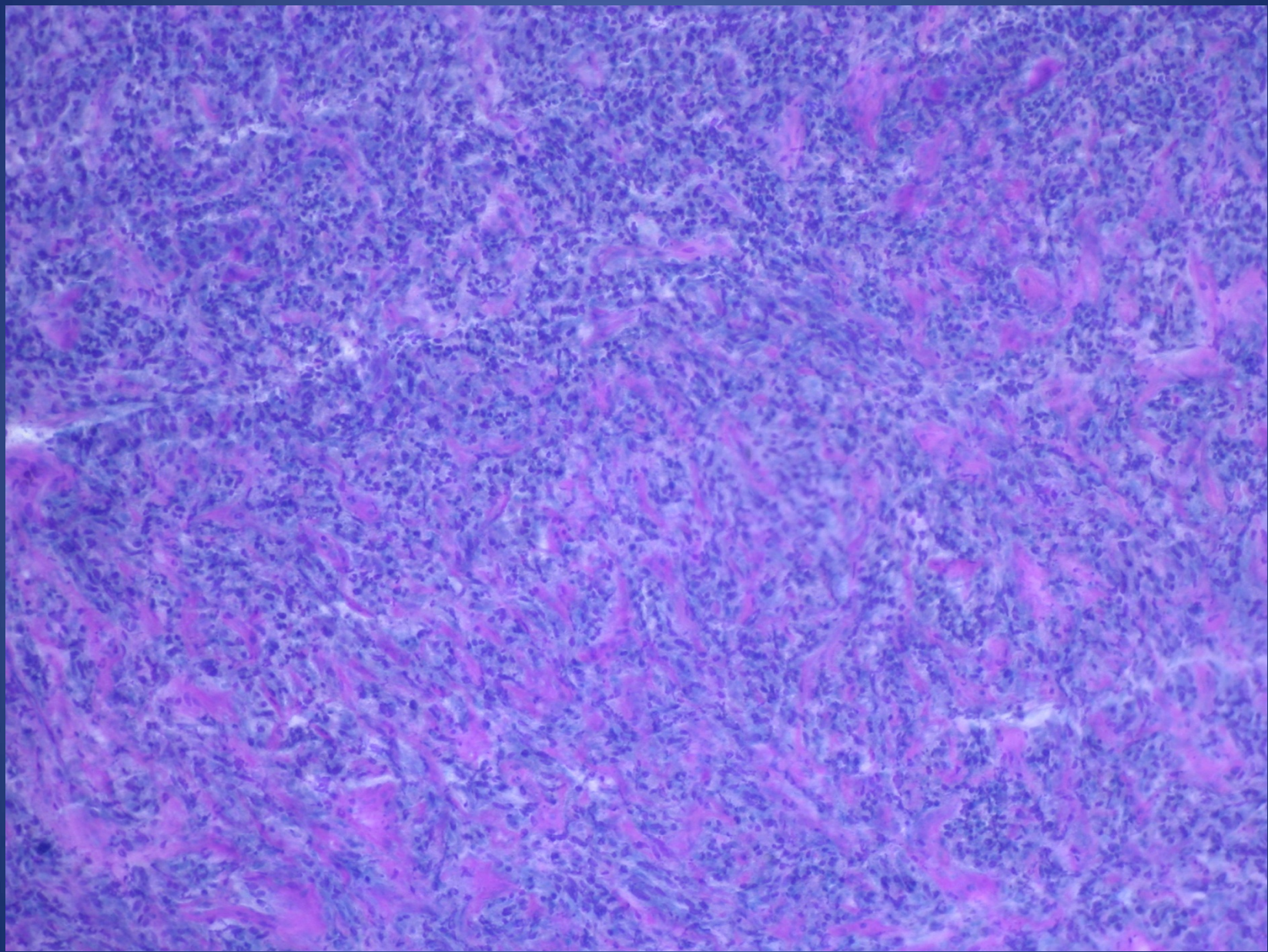
¿con WhatsApp?

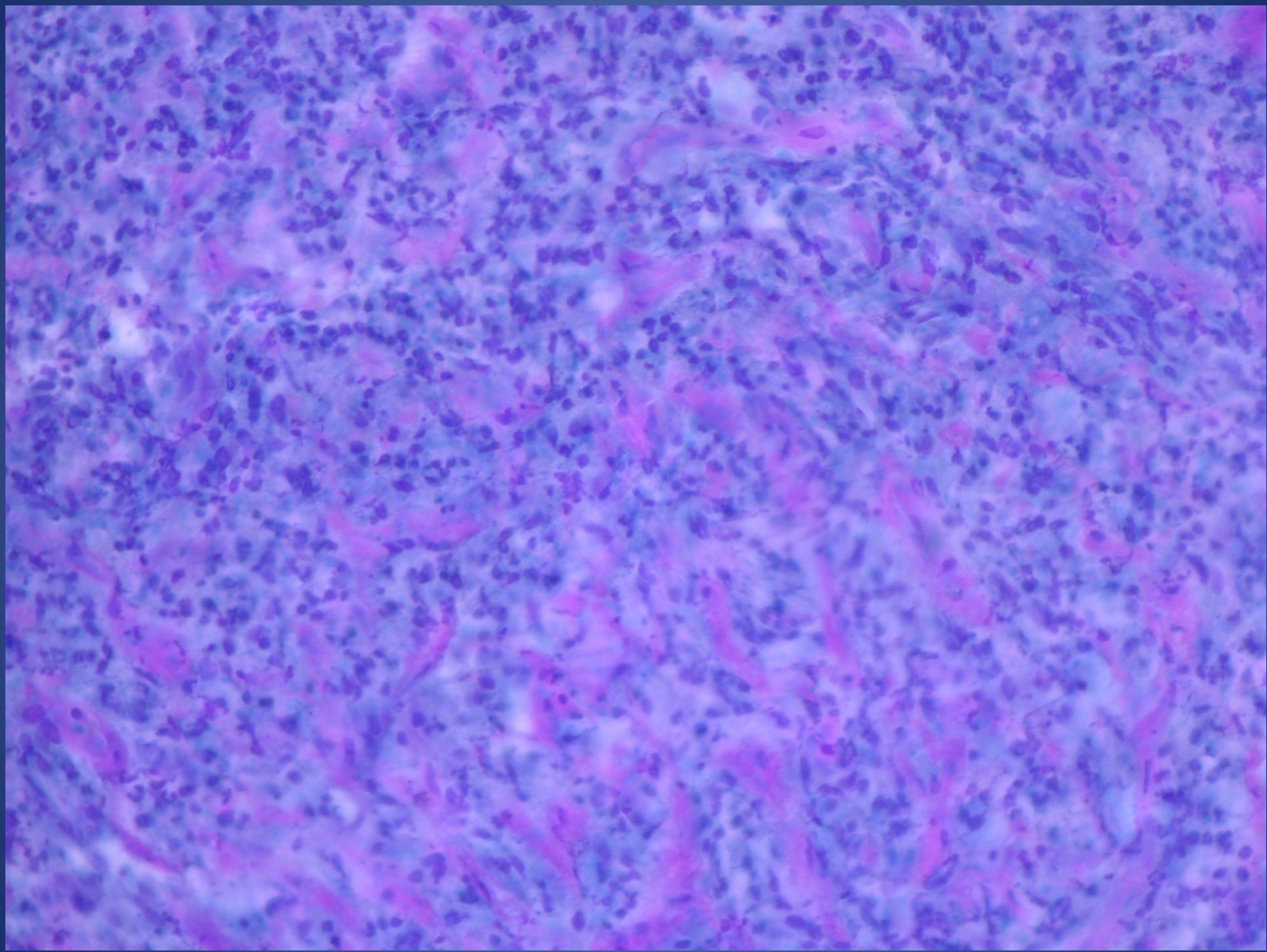


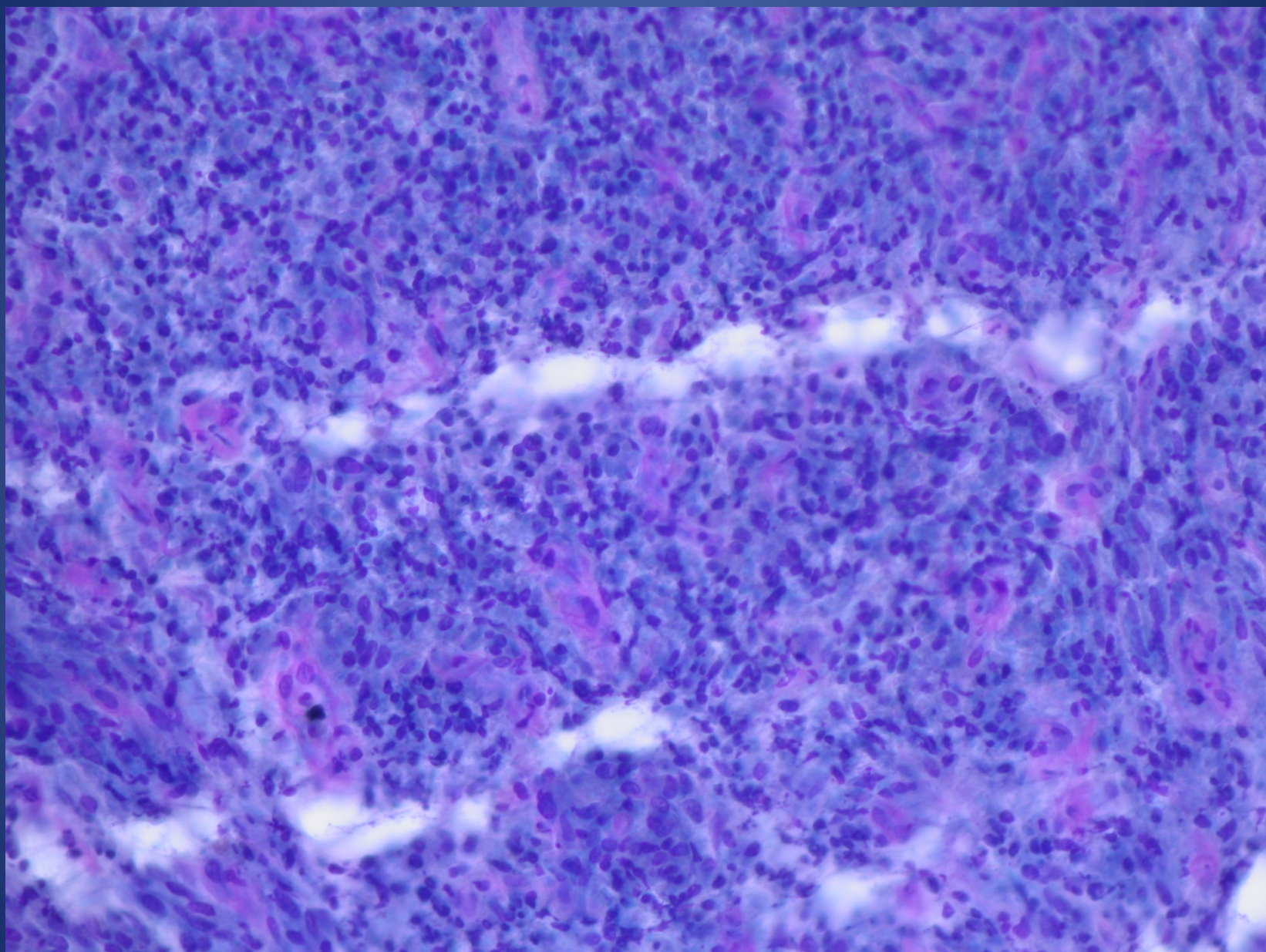


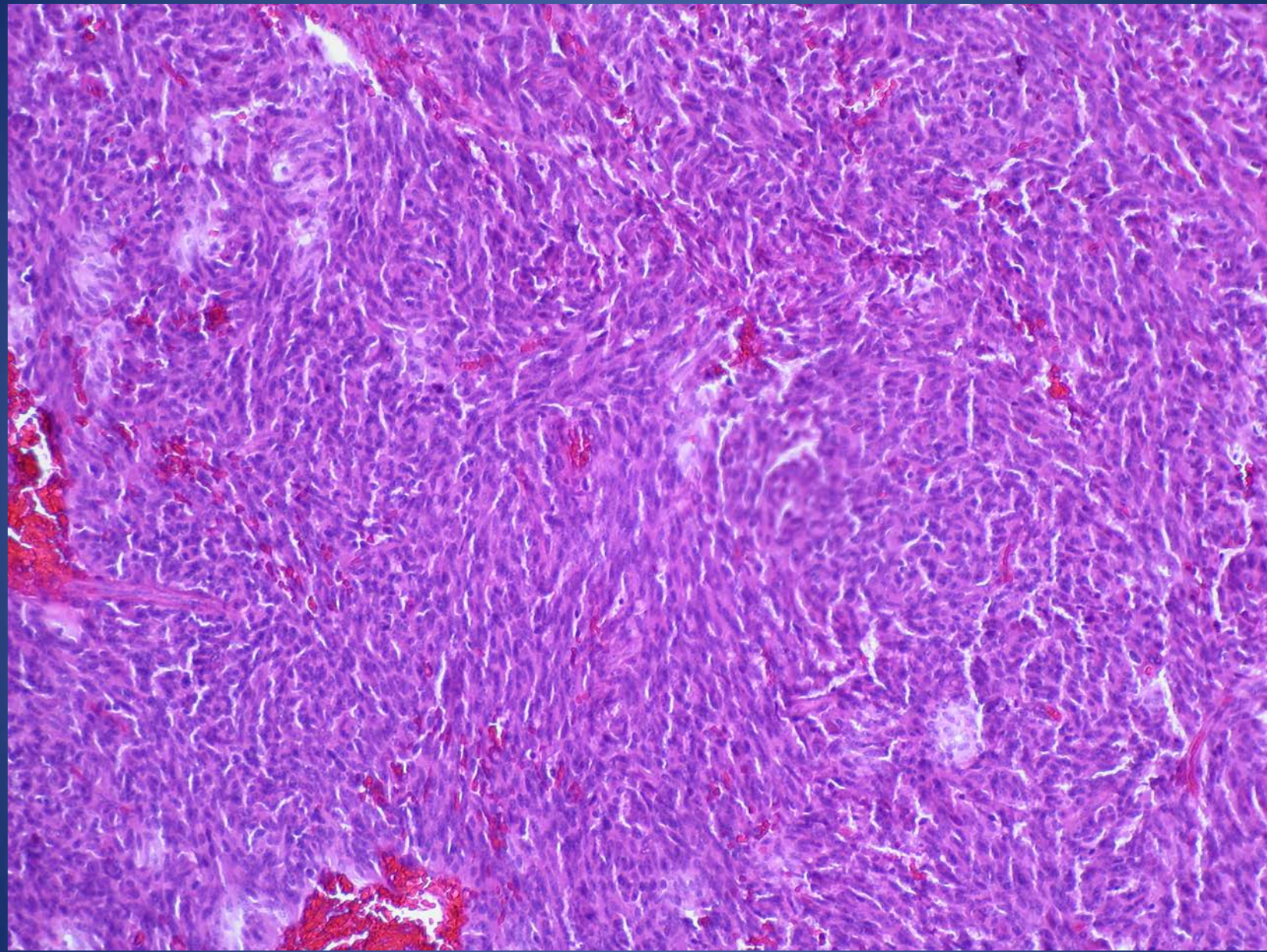


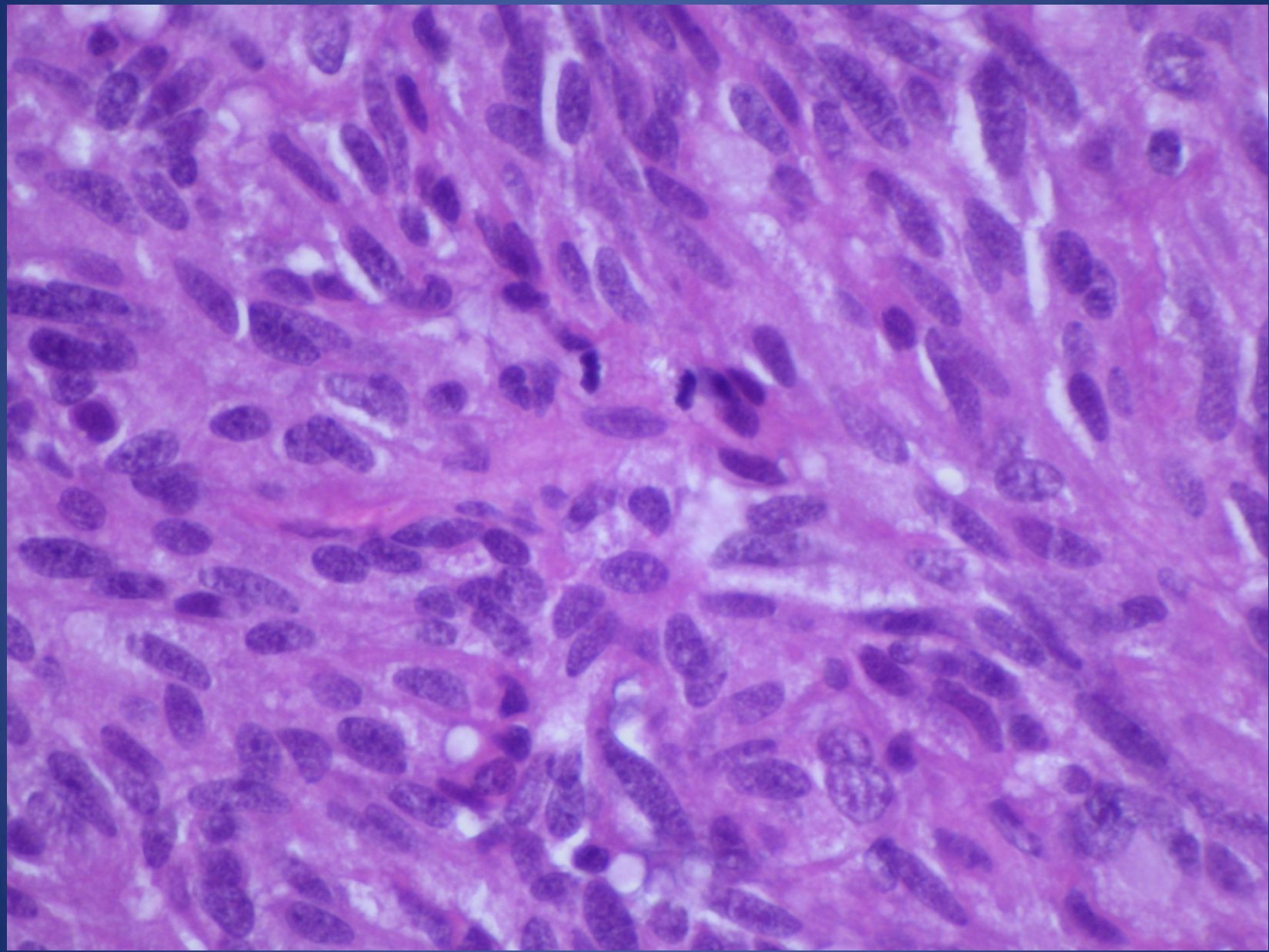


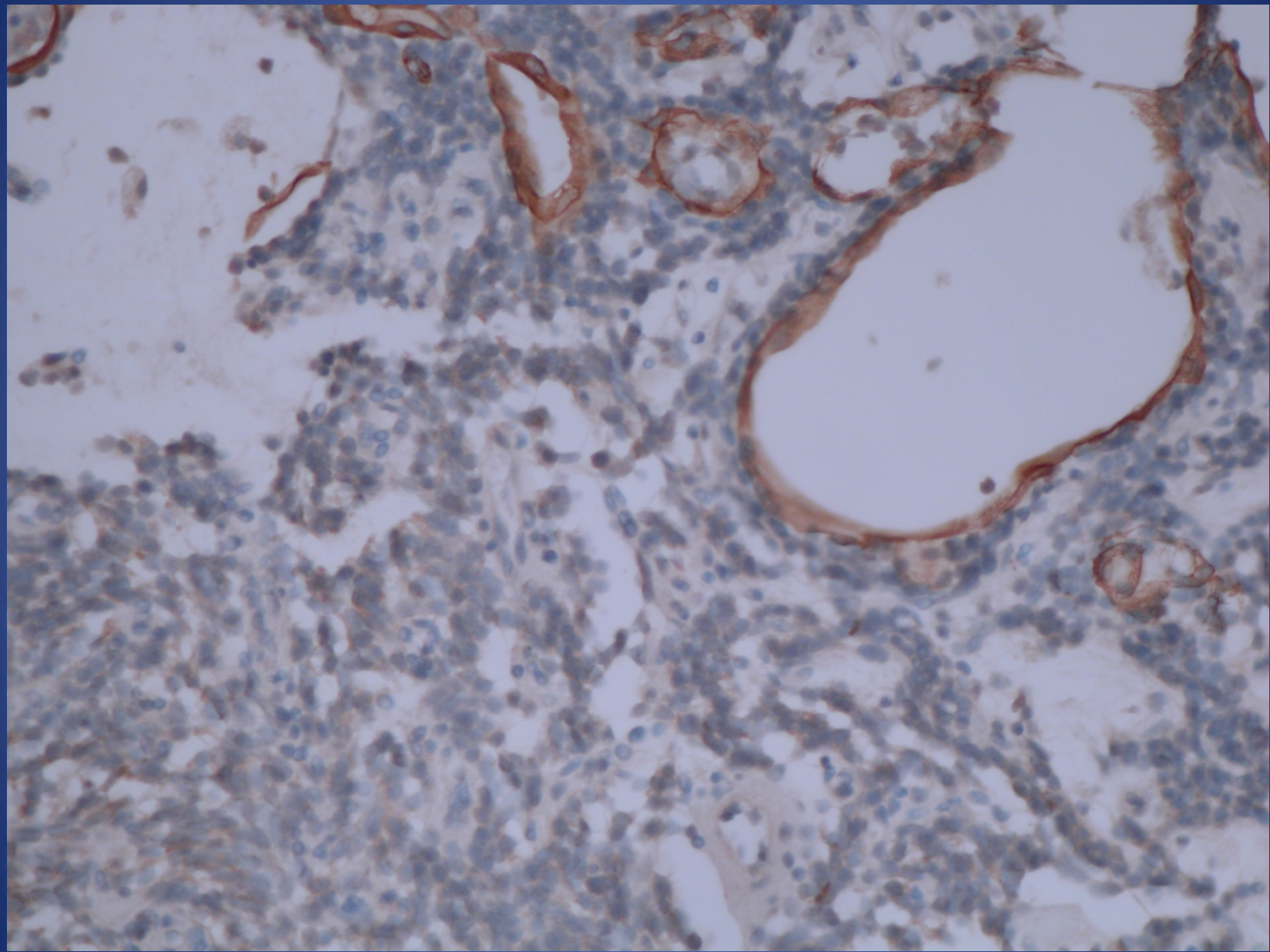


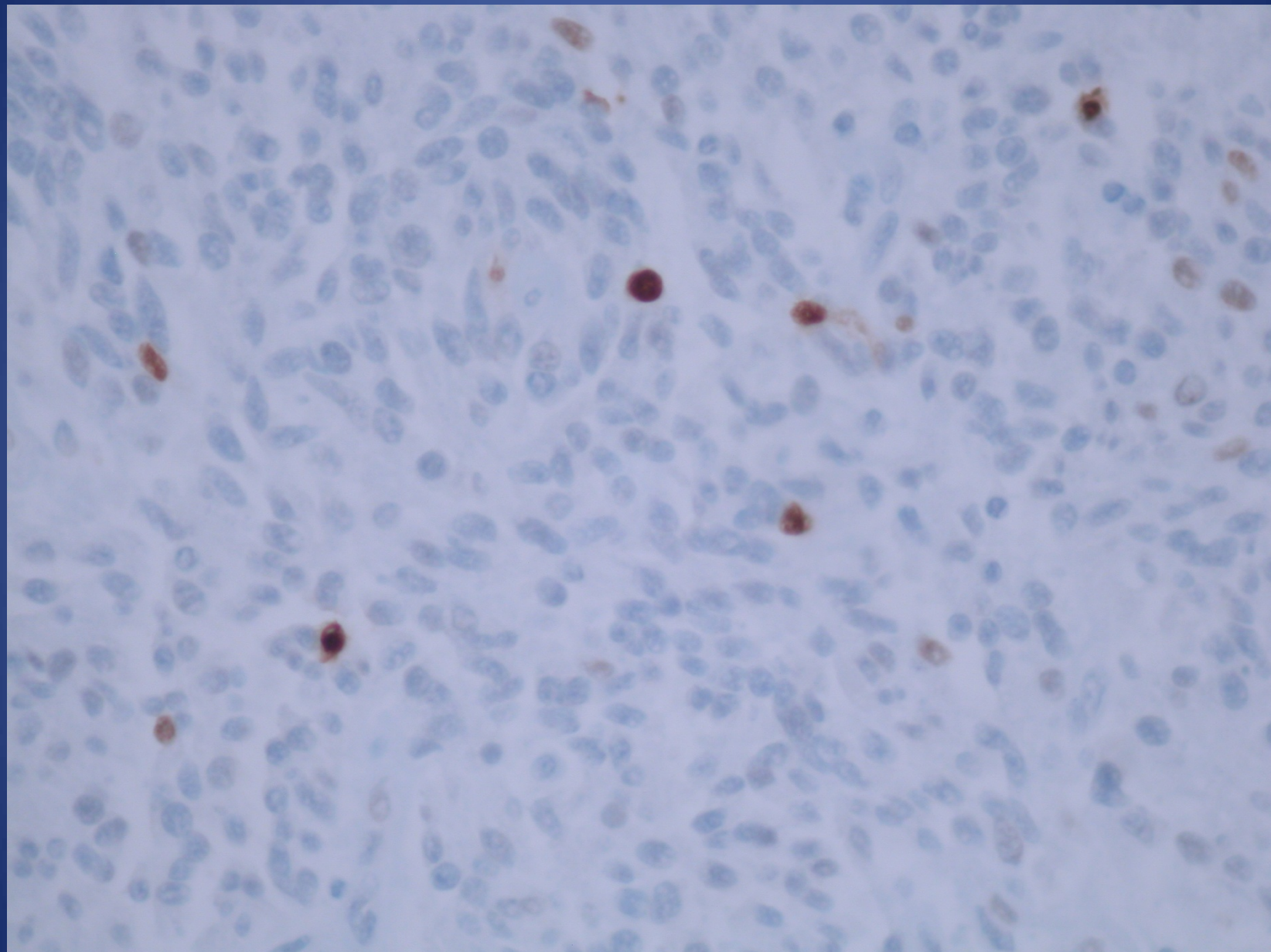


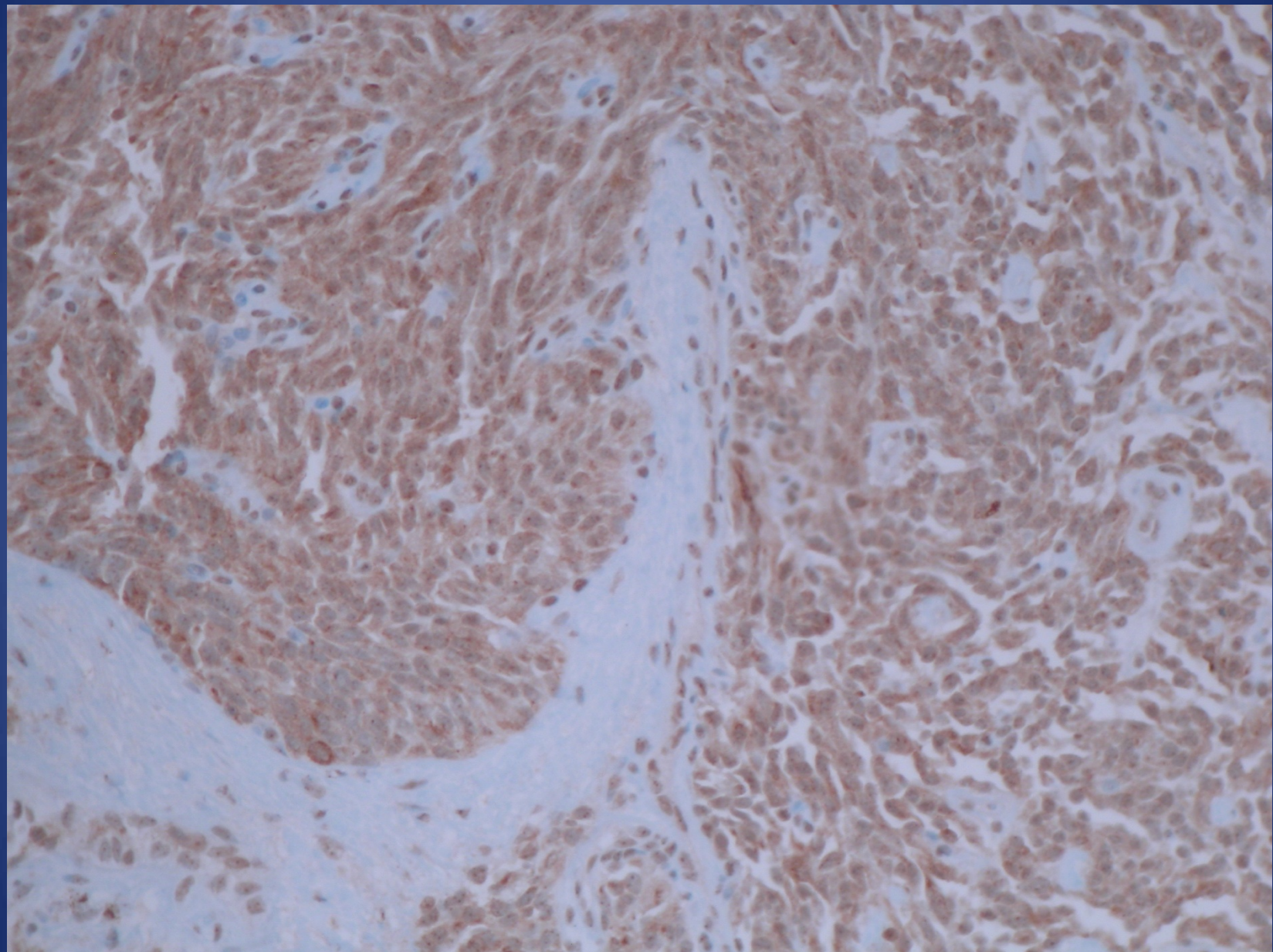


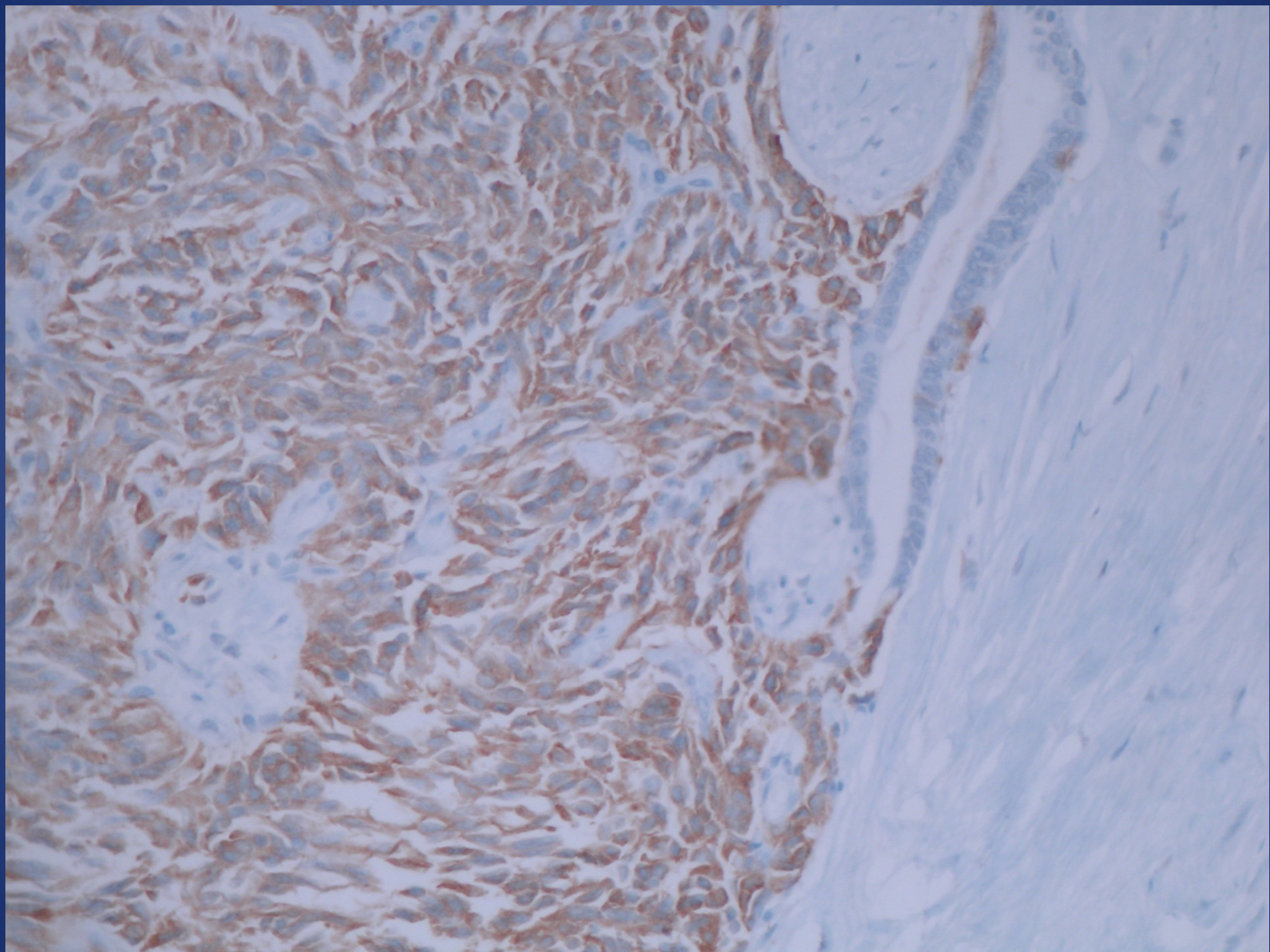












Telepatología

Diagnóstico remoto intraoperatorio Conclusiones

- El ancho de banda de la transmisión es importante.
- Es preferible el uso de escáneres, y especialmente los que disponen de opciones de manejo en tiempo real
- El factor crítico es el TECNICO
- Hacen falta dos técnicos para tener agilidad en el procedimiento.

Diagnóstico

- La formación de los técnicos

atorio
de los
de éxito

The poster features a circular emblem on the left containing a stylized brain cross-section. To its right is a detailed anatomical illustration of a human head in profile, showing internal structures like the brain and ventricles. The text is centered over these images.

IV CURSO DE
MACROS-
COPIA Y
PROSECCION
BIOPSICA

para Técnicos de Anatomía Patológica

30 JUNIO y 1 JULIO
2016

Hospital Nisa
Rey Don Jaime, Castellón

HOSPITAL NISA
Rey Don Jaime

Información e inscripciones
<http://e-pat.org>

Microscopía Virtual

- Permite la digitalización total del diagnóstico
- MEJOR calidad de imagen que la microscopia convencional
- Múltiples soluciones comerciales no compatibles

Microscopía Virtual

Cómo sobrevivir a los diferentes formatos gráficos

- SVS (Aperio/Leica)
- SCN (Leica)
- MRXS (3D-histech/Sysmex)
- BIF (Roche)
- NDPI (Hamamatsu)
- JPEG 2000
- TIFF

- Corel User Files
- Documentos digitalizados
- Expression
- Fax
- gegl-0.0
- gegl-0.1
- GIS DataBase
- html
- IISExpress
- Image Converter Plus
- ImageConverter Plus
- iSpring Converter Pro 8
- KatMP3Recorder
- Mi música
- Mi música
- microsoft
- Mis imágenes
- Mis imágenes
- Mis videos
- Mis videos
- My Digital Editions

- My Videos
- My Web Sites
- NativeFus_Log
- NeroVision
- pat
- Presentations
- RoboGEO
- samsung
- ScanSnap
- SelfMV

bre:

All Formats

- All Formats
- ScanScope Virtual Slide (*.SVS, *.JP2)
- Leica (*.SCN)
- TIFF (*.TIF)
- JPEG (*.JPG)
- Composite Webslide (*.SlideScan.ini)
- Aperio Fused Image (*.AFI)
- Aperio Composite Image (*.ACI)
- Hamamatsu (*.ndpi, *.vms, *.vmu)
- Mirax (*.mrxs, slidedat.ini)

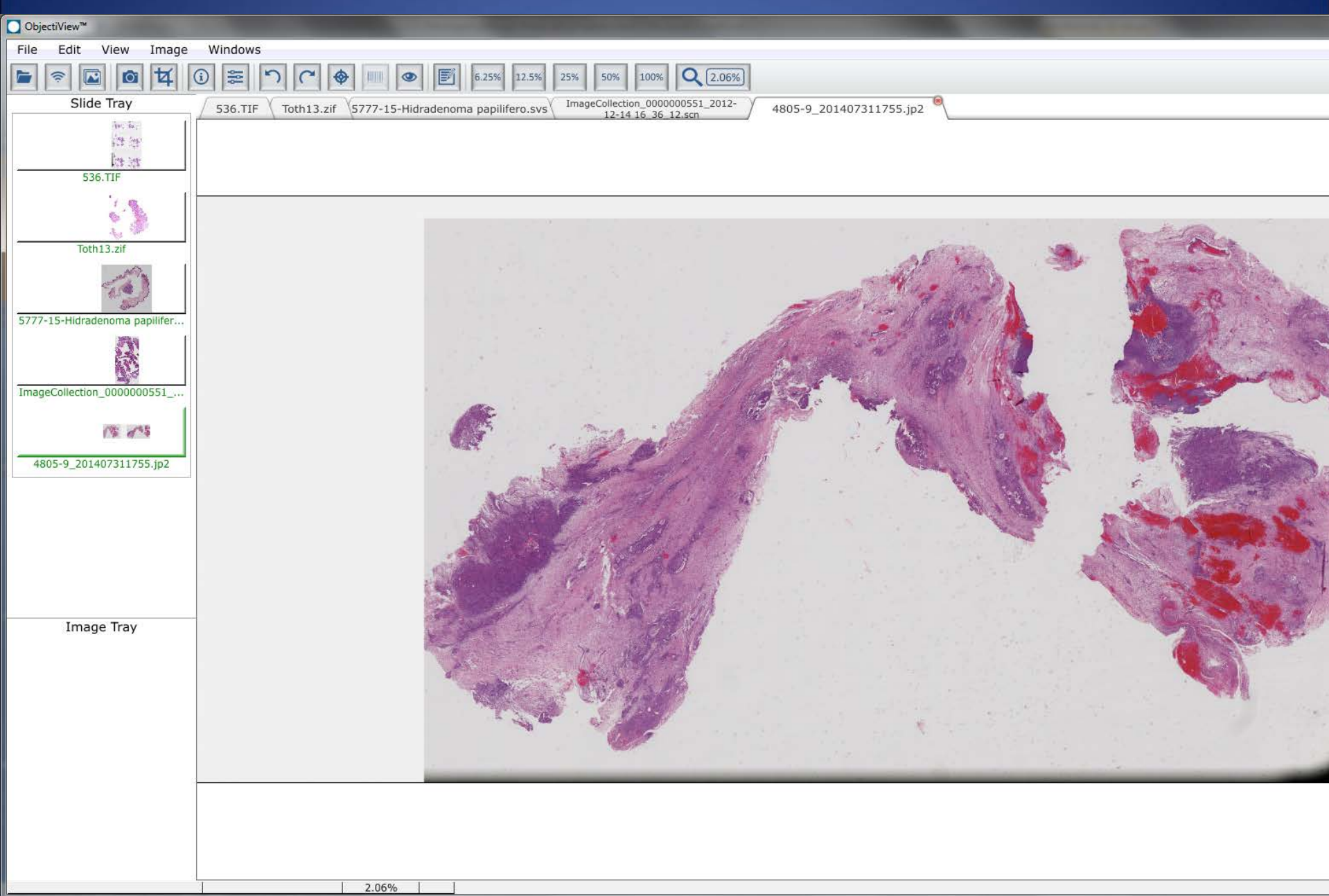


Microscopía Virtual servidores

- Comerciales:
 - Sofisticados
 - Soluciones individualizadas
 - Integración con LIS
 - Caros
- Existen servidores gratuitos
 - Requieren cierto dominio tecnológico
 - Conversión previa de formatos para su uso

Portabilidad en Microscopía Virtual

- Hay soluciones basadas en software de imágenes panorámicas o de información geográfica.
- Las cosas son mas difíciles con los problemas de seguridad de Flash y Java
- Una buena opción actual es **ObjetiView**



Bases de datos y búsquedas de información

- Los LIS utilizan bases de datos complejas enlazados con nuestros sistemas de generación de informes.
- Hay opciones para el uso de bases de datos sencillas que un patólogo puede diseñar por si mismo
- Idealmente deben basarse en estándar web
 - MySQL

Microsoft Access

Herramientas de tabla

Inicio Crear Datos externos Herramientas de base de datos Hoja de datos

Vistas Cortar Copiar Copiar formato Portapapeles

Nuevo Totales Guardar Revisión ortográfica Eliminar Más Actualizar todo Filtro Selección Avanzadas Alternar filtro Ordenar y filtrar Buscar Cambiar al formulario Ventana Reemplazar Ir a Seleccionar Buscar

Advertencia de seguridad Se ha deshabilitado parte del contenido de la base de datos Opciones...

Tablas ARPA

ARPA

nu	TITULO	AUTORES	REVISTA	SIG	PACLA	COMENT
1	A unifying concept of malignant melanoma: biologic	Ackerman, A; Bernard, David, Kathleen	J Hum Pathol	1986,17:438-440	piel melanoma	
2	A case of cerebral paragonimiasis in Denmark. Case	Moller, A	APMIS	1995,103:604	cerebro paragonimiasis	
3	A classification of gastric dysplasia	Jass, J.R.	Histopathology	1983,7:181-193	estómago displasia gástrica metaplasia intestinal	
4	A clinicopathologic and prognostic study of epithelial	Johansson, S; Angervall, L; Bengtsson, U	Cancer	1976,37:1376-1383	pelvis renal papiloma invertido carcinoma	
5	A colonic adenocarcinoma with argentaffin cells. An	Ulrich, Thomas R; Cheng, Lorna; Glover, H	Cancer	1983,51:1483-1489	colon adenocarcinoma células argentafines	
6	A comparative immunohistochemical study of perit	Khoury, Nabih; Raju, Usha; Crissman, Jc	J Hum Pathol	1990,21:811-819	mesotelioma peritoneal ovario INM	
7	A comparison of human papillomavirus detection ral	Hukkanen, Veijo I; Auvinen, Eeva; Salin	Am J Clin Pathol	1994,101:694-697	cervix HPV TES dot blot citología tipo histológico	
8	A dBASE III surgical pathology reporting and encodin	Dudrey, Ellen F; Watts, Mark T	Am J Clin Pathol	1990,93:91-97	dBASE III código SNOMED ordenador codificación	
9	A morphometric study of the microvasculature of a	Lutherford, P.J; Lantos, P.L.	Neuropat App Neurop	1985,11:661-473	cerebro glioma rata morfometría análisis deImagen	
10	A new twist to the cell cycle	Baringaga, Marcia	Science	1995,269:631-632	ciclo celular ubicuitina ciclina kinasa	
11	A novel biotinylated probe specific for hyaluronate.	Azumi, Norio; Underhill, Charles B; Kaga	Am J Surg Pathol	1992,16:116-121	mesotelioma hialuronidasa INM pleura	
12	A proposito de la información al paciente con cáncer	Pérez Manga, G; Alonso, A; Arranz, J.A; C	Neoplasia	1992,9(5):	cáncer información al paciente	
13	A rapid and simple procedure for the routine detect	Slebos, Robert J.C; Boerrigter, Lucie; Evi	Diagn Mol Pathol	1992,1:136-141	TEC PCR parafina oncogén ras	
14	A revised European-American classification of lymph	Harris, Jaffe; Stein; Banks; Chan; Cleary;	Blood	1994,84(5):1361-1392	linfoma clasificación	
15	A simple and rapid technique to process formalin-f	Kiene, Petra; Milde-Langosch, Karin; Rur	Virchows Archiv A	1992,420:269-273	PCR TES HPV parafina formol extracción, resina gelati	
16	A time-related study of Brefeldin A effects in HSV-1	Rygaard, J; Norrild, B	APMIS	1995,103:530	HSV-1 cultivo fibroblastosBrefeldin A	
17	Absence of human papilloma virus in cervical ade	Young, F.I; Ward, L.M; Brown, L.J.R.	J Clin Pathol	1991,44:340-341	cervix TES HPV HIS adenocarcinoma	
18	Absence of human papillomavirus in cervical adenoc	Wright, R.G; Samaratunga, M.L.T; Jawors	J Clin Pathol	1992,45:271	cervix adenocarcinoma TES HPV	
19	Acción antineoplásica del selenio	Ramos Mora, J.L.	Neoplasia	1990,7(3):103	selenio quimioterapia antineoplásico	
20	Aceptación de la punción con aguja fina: una encues	Rey-López, A; Martín-Rodríguez, M; Red	Patología	1993,26(2):151-153	PAAF citología FNA punción	
21	Acinic cell adenocarcinoma of minor salivary glands	Chen, S.Y; Brannon, R.B; Miller, A.S; Whi	Cancer	1978,42:678-685	glándula salivar menor carcinoma acinar	
22	Acinic cell adenocarcinoma. A clinicopathologic anal	Ellis, Gary L; Corio, Russell L.	Cancer	1983,52:542-549	carcinoma acinar glándula salivar parótida	
23	Acinic cell carcinoma	Lewis, Jean E; Olsen, Kerry D; Weiland, L	Cancer	1991,67:172-179	glándula salivar parótida carcinoma acinar	
24	Acinic cell carcinoma of salivary origin. A clinicopath	Spiro, Ronald H; Huvos, Andrew G; Stron	Cancer	1978,41:924-935	carcinoma acinar glándula salivar parótida	
25	Acinic cell carcinomas arising in salivary glands. a clir	Perzin, Karl H; LiVolsi, Virginia A.	Cancer	1979,44:1434-1457	glándula salivar carcinoma acinar parótida	
26	Actividad de las células natural killer y subpoblacion	Aranda Aguilar, E; Barneto, I.C; Galán, F;	Neoplasia	1992,9(1):19	quimioterapia linfocitos cancer natural killer	
27	Acute fatty liver of pregnancy	Brunt, Elizabeth M.	Patología	1992,25:161-163	hígado graso embarazo esteatosis	
28	Acute rejection in human liver grafts:a comparative	Gouw, Annette S.H; Snover, Dale C; Gro	J Hum Pathol	1988,19:1036-1042	hígado TRA rechazo ciclosporina A azatioprina	Tanto los tratados con ciclosporina como los tra
29	Adamantinoma of long bones: the mystery endures	Unni, K.K.	Adv Anat Pathol	1996,3:16-21	hueco adamantinoma tibia displasia fibrosa	
30	Adenoacanthoma of the endometrium: morphologic	Kealy, W.F; Annis, P.G; Barry, J.A; Hogan	J Clin Pathol	1990,43:554-559	endometri TES HPV HIS adenocantoma INM	
31	Adenocarcinoma de colon asociado a tricoleucemia	Gracia, A; Giménez, F; Giménez, M.J; Sár	Neoplasia	1995,12(5):185	colon adenocarcinoma tricoleucemia	
32	Adenocarcinoma de mínima desviación del cérvix ut	Gallego, M.P; Ríos, M.J; Valero, M.I; Cast	Patología	1994,27(4):349	cervix adenocarcinoma de mínima desviación aden	
33	Adenocarcinoma de pulmón y metástasis en cuerpos	Casquiero, F; Fuertes, F.J; González, F; M	Neoplasia	1994,11(5):185	pulmón adenocarcinoma metástasis pene cuerpo cav	
34	Adenocarcinoma intestinal y artritis reumatoide: res	Sánchez Burson, J; Antón Aparicio, L; Me	Neoplasia	1990,7(3):115	intestino adenocarcinoma artritis reumatoide colon	

Registro: 1 de 3786 Sin filtro Buscar

U ↑	TITULO	AUTORES	REVISTA	SIG
1	A unifying concept of malignant melanoma: biologic	Ackerman, A. Bernard, David, Kathleen M	J Hum Pathol	1986,17:438-440
2	A case of cerebral paragonimiasis in Denmark. Case i	Moller, A	APMIS	1995,103:604
3	A classification of gastric dysplasia	Jass, J.R.	Histopathology	1983,7:181-193
4	A clinicopathologic and prognostic study of epithelia	Johansson, S; Angervall, L; Bengtsson, U	Cancer	1976,37:1376-1383
5	A colonic adenocarcinoma with argentaffin cells. An	Ulich, Thomas R; Cheng, Lorna; Glover, H	Cancer	1983,51:1483-1489
6	A comparative immunohistochemical study of peritc	Khoury, Nabiha; Raju, Usha; Crissman, Jc	J Hum Pathol	1990,21:811-819
7	A comparison of human papillomavirus detection ra	Hukkanen, Veijo I; Auvinen, Eeva; Salm	Am J Clin Pathol	1994,101:694-697
8	A dBASE III surgical pathology reporting and encodin	Dudrey, Ellen F; Watts, Mark T	Am J Clin Pathol	1990,93:91-97
9	A morphometric study of the microvasculature of a r	Luthert, P.J; Lantos, P.L.	Neuropat App Neurob	1985,11:661-473
10	A new twist to the cell cycle	Barinaga, Marcia	Science	1995,269:631-632
11	A novel biotinylated probe specific for hyaluronate.	Azumi, Norio; Underhill, Charles B; Kaga	Am J Surg Pathol	1992,16:116-121
12	A proposito de la información al paciente con cáncer	Pérez Manga, G; Alonso, A; Arranz, J.A; C	Neoplasia	1992,9(5):
13	A rapid and simple procedure for the routine detecti	Slebos, Robert J.C; Boerrigter, Lucie; Eve	Diagn Mol Pathol	1992,1:136-141
14	A revised European-American classification of lymph	Harris; Jaffe; Stein; Banks; Chan; Cleary;	Blood	1994,84(5):1361-1392
15	A simple and rapid technique to process formalin-fi	Kiene, Petra; Milde-Langosch, Karin; Rur	Virchows Archiv A	1992,420:269-273
16	A time-related study of Brefeldin A effects in HSV-1	Rygaard, J; Norrild, B	APMIS	1995,103:530
17	Absence of human papilloma virus in cervical ade	Young, F.I; Ward, L.M; Brown, L.J.R.	J Clin Pathol	1991,44:340-341
18	Absence of human papillomavirus in cervical adenoc	Wright, R.G; Samaratunga, M.L.T; Jawors	J Clin Pathol	1992,45:271
19	Acción antineoplásica del selenio	Ramos Mora, J.L.	Neoplasia	1990,7(3):103
20	Aceptación de la punción con aguja fina: una encues	Rey-López, A; Martín-Rodríguez, M; Redo	Patología	1993,26(2):151-153
21	Acinic cell adenocarcinoma of minor salivary glands	Chen, S.Y; Brannon, R.B; Miller, A.S; Whi	Cancer	1978,42:678-685
22	Acinic cell adenocarcinoma. A clinicopathologic anal	Ellis, Gary L; Corio, Russell L.	Cancer	1983,52:542-549
23	Acinic cell carcinoma	Lewis, Jean E; Olsen, Kerry D; Weiland, L	Cancer	1991,67:172-179
24	Acinic cell carcinoma of salivary origin. A clinicopath	Spiro, Ronald H; Huvos, Andrew G; Stron	Cancer	1978,41:924-935
25	Acinic cell carcinomas arising in salivary glands. a clir	Perzin, Karl H; LiVolsi, Virginia A.	Cancer	1979,44:1434-1457
26	Actividad de las células natural killer y subpoblacion	Aranda Aguilar, E; Barneto, I.C; Galán, F;	Neoplasia	1992,9(1):19
27	Acute fatty liver of pregnancy	Brunt, Elizabeth M.	Patología	1992,25:161-163
28	Acute rejection in human liver grafts:a comparative	Gouw, Annette S.H; Snover, Dale C; Gror	J Hum Pathol	1988,19:1036-1042
29	Adamantinoma of long bones: the mystery endures	Unni, K.K	Adv Anat Pathol	1996,3:16-21
30	Adenoacanthoma of the endometrium: morphologic	Kealy, W.F; Annis, P.G; Barry, J.A; Hogan,	J Clin Pathol	1990,43:554-559
31	Adenocarcinoma de colon asociado a tricoleucemia	Gracia, A; Giménez, F; Giménez, M.J; Sár	Neoplasia	1995,12(5):185
32	Adenocarcinoma de mínima desviación del cérvix ut	Gallego, M.P; Ríos, M.J; Valero, M.I; Cast	Patología	1994,27(4):349
33	Adenocarcinoma de pulmón y metástasis en cuerpos	Casquiero, F; Fuertes, F.J; González, F; M	Neoplasia	1994,11(5):185
34	Adenocarcinoma intestinal y artritis reumatoide: res	Sánchez Burson, J; Antón Aparicio, L; Me	Neoplasia	1990,7(3):115
35	Adenocarcinoma invasivo de la vejiga de tipo	Cordial García, María José; Alvarez, Berni; Peñal	-----	1-2-34

Microsoft Access

Herramientas de tabla

Inicio Crear Datos externos Herramientas de base de datos Hoja de datos

Importaciones guardadas Access Excel Lista de SharePoint Archivo de texto Archivo XML Más Exportaciones guardadas Excel Lista de SharePoint PDF o XPS Word Archivo de texto Crear correo electrónico Administrar respuestas Trabajar con conexión Descartar cambios Almacenar datos de lista en caché Volver a vincular listas Mover a SharePoint

Importar Exportar

Tablas ARPA

ARPA

	TITULO	REVISTA	SIG
1	A unifying concept of malignant melanoma: biology and clinical behavior	Hum Pathol	1986,17:438-440
2	A case of cerebral paragonimiasis in Denmark. Clinical presentation and postmortem findings	APMIS	1995,103:604
3	A classification of gastric dysplasia	Histopathology	1983,7:181-193
4	A clinicopathologic and prognostic study of epithelial ovarian carcinoma	Cancer	1976,37:1376-1383
5	A colonic adenocarcinoma with argentaffin cells	Cancer	1983,51:1483-1489
6	A comparative immunohistochemical study of primary and metastatic breast carcinomas	Hum Pathol	1990,21:811-819
7	A comparison of human papillomavirus detection by polymerase chain reaction and hybridization	Am J Clin Pathol	1994,101:694-697
8	A dBASE III surgical pathology reporting and encoding system	Am J Clin Pathol	1990,93:91-97
9	A morphometric study of the microvasculature of the liver	Neuropat App Neurob	1985,11:661-473
10	A new twist to the cell cycle	Science	1995,269:631-632
11	A novel biotinylated probe specific for hyaluronic acid	Am J Surg Pathol	1992,16:116-121
12	A proposito de la información al paciente con cáncer	Neoplasia	1992,9(5):
13	A rapid and simple procedure for the routine detection of hepatitis C virus RNA	Diagn Mol Pathol	1992,1:136-141
14	A revised European-American classification of lymphoid neoplasms: a proposal from the International Lymphoma Study Group	Blood	1994,84(5):1361-1392
15	A simple and rapid technique to process formalin-fixed, paraffin-embedded tissue for immunohistochemistry	Virchows Archiv A	1992,420:269-273
16	A time-related study of Brefeldin A effects in HSV-1 infected cells	APMIS	1995,103:530
17	Absence of human papilloma virus in cervical adenocarcinoma	J Clin Pathol	1991,44:340-341
18	Absence of human papillomavirus in cervical adenocarcinoma	J Clin Pathol	1992,45:271
19	Acción antineoplásica del selenio	Neoplasia	1990,7(3):103
20	Aceptación de la punción con aguja fina: una encuesta a los pacientes	Patología	1993,26(2):151-153
21	Acinic cell adenocarcinoma of minor salivary glands	Cancer	1978,42:678-685
22	Acinic cell adenocarcinoma. A clinicopathologic analysis of 294 cases	Cancer	1983,52:542-549
23	Acinic cell carcinoma	Cancer	1991,67:172-179
24	Acinic cell carcinoma of salivary origin. A clinicopathologic study of 10 cases	Cancer	1978,41:924-935
25	Acinic cell carcinomas arising in salivary glands. A clinicopathologic study of 10 cases	Cancer	1979,44:1434-1457
26	Actividad de las células natural killer y subpoblaciones linfocitarias en el hígado	Neoplasia	1992,9(1):19
27	Acute fatty liver of pregnancy	Patología	1992,25:161-163
28	Acute rejection in human liver grafts: a comparative study of cellular and humoral mechanisms	Hum Pathol	1988,19:1036-1042
29	Adamantinoma of long bones: the mystery endures	Adv Anat Pathol	1996,3:16-21
30	Adenoacanthoma of the endometrium: morphological changes in the stroma	J Clin Pathol	1990,43:554-559
31	Adenocarcinoma de colon asociado a tricoleucemia	Neoplasia	1995,12(5):185
32	Adenocarcinoma de mínima desviación del cérvix uterino ("Adeno-epithelioma")	Patología	1994,27(4):349
33	Adenocarcinoma de pulmón y metástasis en cuerpos cavernosos	Neoplasia	1994,11(5):185
34	Adenocarcinoma intestinal y artritis reumatoide: respuesta inmunológica	Neoplasia	1990,7(3):115
35	Adenocarcinoma mucosecretor de la ampolla de Vater	Regional Aragonesa	4-3-94

1	A unifying concept of malignant melanoma: biologic aspects	Ackerman, A. Bernard, David, Kathleen M.	Hum Pathol	1986,17:438-440
2	A case of cerebral paragonimiasis in Denmark. Case report	Moller, A	APMIS	1995,103:604
3	A classification of gastric dysplasia	Jass, J.R.	Histopathology	1983,7:181-193
4	A clinicopathologic and prognostic study of epithelial tumors of the renal pelvis	Johansson, S; Angervall, L; Bengtsson, U; Wahlqvist, L.	Cancer	1976,37:1376-1383
5	A colonic adenocarcinoma with argentaffin cells. An immunoperoxidase study demonstrating the presence of numerous neuroendocrine products	Ulich, Thomas R; Cheng, Lorna; Glover, Henry; Yang, Kan; Lewin, Klaus J.	Cancer	1983,51:1483-1489
6	A comparative immunohistochemical study of peritoneal and ovarian serous tumours, and mesotheliomas	Khoury, Nabiha; Raju, Usha; Crissman, John D; Zarbo, R.J; Greenawald, Kenneth A.	Hum Pathol	1990,21:811-819
7	A comparison of human papillomavirus detection rates by dot blot assay from smear and biopsy specimens with regard to human papillomavirus type and histologic diagnosis	Hukkanen, Veijo I; Auvinen, Eeva; Salmi, Tuula; Virtanen, Merja; Kujari, Harry P.	Am J Clin Pathol	1994,101:694-697
8	A dBASE III surgical pathology reporting and encoding microcomputer system	Dudrey, Ellen F; Watts, Mark T	Am J Clin Pathol	1990,93:91-97
9	A morphometric study of the microvasculature of a rat glioma	Luthert, P.J; Lantos, P.L.	Neuropat App Neurob	1985,11:661-473
10	A new twist to the cell cycle	Barinaga, Marcia	Science	1995,269:631-632
11	A novel biotinylated probe specific for hyaluronate. Its diagnostic value in diffuse malignant mesothelioma	Azumi, Norio; Underhill, Charles B; Kagan, Elliot; Sheibani, Khalil.	Am J Surg Pathol	1992,16:116-121

num	TITULO	AUTORES	REVISTA	SIG
1 1	A unifying concept of malignant melanoma: biologic aspects	Ackerman, A. Bernard, David, Kathleen M.	Hum Pathol	1986,17:438-440
2 2	A case of cerebral paragonimiasis in Denmark. Case report	Moller, A	APMIS	1995,103:604
3 3	A classification of gastric dysplasia	Jass, J.R.	Histopathology	1983,7:181-193
4 4	A clinicopathologic and prognostic study of epithelial tumors of the renal pelvis	Johansson, S; Angervall, L; Bengtsson, U; Wahlqvist, L.	Cancer	1976,37:1376-1383
5 5	A colonic adenocarcinoma with argentaffin cells. An immunoperoxidase study demonstrating the presence of numerous neuroendocrine products	Ulich, Thomas R; Cheng, Lorna; Glover, Henry; Yang, Kan; Lewin, Klaus J.	Cancer	1983,51:1483-1489
6 6	A comparative immunohistochemical study of peritoneal and ovarian serous tumours, and mesotheliomas	Khoury, Nabiha; Raju, Usha; Crissman, John D; Zarbo, R.J.; Greenawald, Kenneth A.	Hum Pathol	1990,21:811-819
7 7	A comparison of human papillomavirus detection rates by dot blot assay from smear and biopsy specimens with regard to human papillomavirus type and histologic diagnosis	Hukkanen, Veijo I; Auvinen, Eeva; Salmi, Tuula; Virtanen, Merja; Kujari, Harry P.	Am J Clin Pathol	1994,101:694-697
8 8	A dBASE III surgical pathology reporting and encoding microcomputer system	Dudrey, Ellen F; Watts, Mark T	Am J Clin Pathol	1990,93:91-97
9 9	A morphometric study of the microvasculature of a rat glioma	Luthert, P.J; Lantos, P.L.	Neuropat App Neurob	1985,11:661-473
10 10	A new twist to the cell cycle	Barinaga, Marcia	Science	1995,269:631-632
11 11	A novel biotinylated probe specific for hyaluronate. Its diagnostic value in diffuse malignant mesothelioma	Azumi, Norio; Underhill, Charles B; Kagan, Elliot; Sheibani, Khalil.	Am J Surg Pathol	1992,16:116-121
12 12	A proposito de la información al paciente con cáncer	Pérez Manga, G; Alonso, A; Arranz, J.A; García, R	Neoplasia	1992,9(5):
13 13	A rapid and simple procedure for the routine detection of ras point mutations in formalin-fixed, paraffin-embedded tissues	Slebos, Robert J.C; Boerrigter, Lucie; Evers, Siegina G; Wisman, Peter; Mooi, Wolter J; Rodenhuis,S	Diagn Mol Pathol	1992,1:136-141
14 14	A revised European-American classification of lymphoid neoplasms: a proposal from the international lymphoma study group	Harris; Jaffe; Stein; Banks; Chan; Cleary; Delsol; Wolf; Falini; Gatter; Grogan; Isaacson; Knowles; Mason; Muller; Pileri; Piris; Ralkiae; Warnke	Blood	1994,84(5):1361-1392
15 15	A simple and rapid technique to process formalin-fixed, paraffin embedded tissues for detection of viruses by the polymerase chain reaction	Kiene, Petra; Milde-Langosch, Karin; Runkel, Miriam; Schulz, Kornelia; Löning, Thomas	Virchows Archiv A	1992,420:269-273
16 16	A time-related study of Brefeldin A effects in HSV-1 infected cultured human fibroblast	Rygaard, J; Norrild, B	APMIS	1995,103:530
17 17	Absence of human papilloma virus in cervical adenocarcinoma determined by <i>in situ</i> hybridization	Young, F.I; Ward, L.M; Brown, L.J.R.	J Clin Pathol	1991,44:340-341
18 18	Absence of human papillomavirus in cervical adenocarcinoma	Wright, R.G; Samaratunga, M.L.T; Jaworski, R.	J Clin Pathol	1992,45:271
19 19	Acción antineoplásica del selenio	Ramos Mora, J.J.	Neoplasia	1990,7(3):103

Buscar

ARPA

num	TITULO	AUTORES	REVISTA
1 1	A unifying concept of malignant melanoma: biologic aspects	Ackerman, A. Bernard, David, Kathleen M.	Hum Pathol
2 2	A case of cerebral paragonimiasis in Denmark. Case report	Moller, A	APMIS
3 3	A classification of gastric dysplasia	Jass, J.R.	Histopathology
4 4	A clinicopathologic and prognostic study of epithelial tumors of the renal pelvis	Johansson, S; Angervall, L; Bengtsson, U; Wahlqvist, L.	Cancer
5 5	A colonic adenocarcinoma with argentaffin cells. An immunoperoxidase study demonstrating the presence of numerous neuroendocrine products	Ulich, Thomas R; Cheng, Lorna; Glover, Henry; Yang, Kan; Lewin, Klaus J.	Cancer
6 6	A comparative immunohistochemical study of peritoneal and ovarian serous tumours, and mesotheliomas	Khoury, Nabiha; Raju, Usha; Crissman, John D; Zarbo, R;J; Greenawald, Kenneth A.	Hum Pathol
7 7	A comparison of human papillomavirus detection rates by dot blot assay from smear and biopsy specimens with regard to human papillomavirus type and histologic diagnosis	Hukkanen, Veijo I; Auvinen, Eeva; Salmi, Tuula; Virtanen, Merja; Kujari, Harry P.	Am J Clin Patho
8 8	A dBASE III surgical pathology reporting and encoding microcomputer system	Dudrey, Ellen F; Watts, Mark T	Am J Clin Patho
9 9	A morphometric study of the microvasculature of a rat glioma	Luthert, P.J; Lantos, P.L.	Neuropat App Neurob
10 10	A new twist to the cell cycle	Barinaga, Marcia	Science
11 11	A novel biotinylated probe specific for hyaluronate. Its diagnostic value in diffuse malignant mesothelioma	Azumi, Norio; Underhill, Charles B; Kagan, Elliot; Sheibani, Khalil.	Am J Surg Patho
12 12	A proposito de la información al paciente con cáncer	Pérez Manga, G; Alonso, A; Arranz, J.A; García, R	Neoplasia
13 13	A rapid and simple procedure for the routine detection of ras point mutations in formalin-fixed, paraffin-embedded tissues	Slebos, Robert J.C; Boerrigter, Lucie; Evers, Siegina G; Wisman, Peter; Mooi, Wolter J; Rodenhuis,S	Diagn Mol Patho
14 14	A revised European-American classification of lymphoid neoplasms: a proposal from the international lymphoma study group	Harris; Jaffe; Stein; Banks; Chan; Cleary; Delsol; Wolf; Falini; Gatter; Grogan; Isaacson; Knowles; Mason; Muller; Pileri; Piris; Ralkiaer; Warnke	Blood

ARPA

num	TITULO	AUTORES	REVISTA	SIG
1 124	Borderline epithelial lesions of the breast	Rosai, Juan	Am J Surg Pathol	1991 ,15:209-221
2 452	Histiocytosis X (Langerhans' cell granulomatosis of the thymus. A clinicopathological study of four childhood cases	Siegal, Gene P; Dehner, Louis P; Rosai, Juan.	Am J Surg Pathol	1985 ,9:117-124
3 871	Retiform hemangioendothelioma. A distinctive form of low-grade angiosarcoma delineated in a series of 15 cases	Calonje, Eduardo; Fletcher, Christopher D.M; Wilson-Jones, Edward; Rosai, Juan	Am J Surg Pathol	1994 ,18(2):115-125
4 917	Solitary fibrous tumor of the mediastinum. A report of 14 cases	Witkin, G.B; Rosai, J.	Am J Surg Pathol	1989 ,13(7):547-557
5 921	Standardized reporting of surgical pathology diagnoses for the major tumor types. A proposal	Rosai, J	Am J Clin Pathol	1993 ,100:240-255
6 950	The histiocytoid hemangiomas. A unifying concept embracing several previously described entities of skin, soft tissue, large vessels, bone and heart	Rosai, Juan; Gold, Jay; Landy, Richard	Hum Pathol	1979 ,10:707-730
7 1382	Extranodal Rosai-Dorfman disease in childhood	Remadi, S; Doussis, I; Jlidi, R; Cox, J.N; Seemayer, T.A	Path Res Pract	1996 ,192(10):1007
8 2266	Sinus histiocytosis with massive lymphadenopathy: evidence for its relationship to macrophages and for a cytokine-related disorder	P Middel, B Hemmerlein, A Favyazi, U Kaboth and H-J Radzun	Histopathology	1999 ,35(6):525
9 2298	Apología de la hematoxilina y eosina	Juan Rosai	Patología	1999 ,32(4):499-505
10 2555	A message from the new editorial team	Juan Rosai	Int J Surg Pathol	2000 ,8(1):1
11 2563	Pleomorphic angiomyolipoma of digestive tract: a heretofore unrecognized entity	M.L. Prasad; J.P. Keating; H.H. Teog; S.W. McCarthy; H. Battifora; E. Wasef; J. Rosai	Int J Surg Pathol	2000 ,8(1):67
12 2668	Hu immunolabeling as a marker of neural and neuroendocrine differentiation in normal and neoplastic human tissues: assessment using a recombinant anti-Hu Fab fragment	S.H. Gultekin; J. Rosai; A. Demopoulos; Y.F. Graus; J.B. Poesner; J. Dalmau; M.K. Rosemblum	Int J Surg Pathol	2000 ,8(2):109
13 2737	Genes and Cancer	Juan Rosai	Int J Surg Pathol	2000 ,8(3):175
14 3054	An evolutionary view of neuroendocrine cells and their tumors	Juan Rosai	Int J Surg Pathol	2001 ,9(2):87
15 3065	Association of lymphangioleiomyomatosis (LAM) with endosalpingiosis in the retroperitoneal lymph nodes; report of two cases	K. Matsui; W.D. Travis; R. González; J.A. Terzian; J. Rosai; J. Moss; V. J. Ferrans	Int J Surg Pathol	2001 ,9(2):155
16 3112	On birds, genes, and cancer	Rosai J.	Int J Surg Pathol	2001;9(3):175-6
17 3253	Monotypic angiomyolipoma of the nasal cavity: a heretofore undescribed occurrence	S. Sankar; B. Eyden; P.W. Trenholm; M. Yunuf; K. Wakamatsu; J. Ancas; J. Rosai	Int J Surg Pathol	2001 ,9(4):309
18 3496	Minimally invasive (encapsulated) follicular carcinoma of the thyroid gland is the low-risk counterpart of widely invasive follicular carcinoma but not of insular carcinoma	Paola Collini, Giuseppe Sampietro, Juan Rosai, Silvana Pilotti	Virchows Archiv	2003 ,442(1):71-76
19 3786	Sinus histiocytosis with massive lymphadenopathy Rosai-Dorfman: three unusual manifestations	Gudrun Ratzinger1, Bettina Zelger2 , Walter Höbling3 , Gregor Mikuz2 and Bernhard W. Zelger1	Virchows Archiv	2003 ,443(6):797-800

Indice de Comunicaciones

(Reuniones Científicas de la Sociedad Territorial Levante-Sureste de la SEAP 1974-1992)

Buscar

nº	ordenar por AUTOR	ordenar por TITULO	REUNION	FECHA
1	Villanueva Guardia, Mª Aurora	Linfosarcoma tipo Burkitt	H. Provincial Valencia	1974-12-?
2	Jordá Cuevas, María V.	Rabdomiomatosis cardíaca	H. Provincial Valencia	1974-12-?
3	Martínez Escudero, Jesús	Linfadenopatía salmonelósica	H. Provincial Valencia	1974-12-?
4	Martínez Escudero, Jesús	Mixoma	H. Provincial Valencia	1974-12-?
5	Tamarit Montesinos, Luis V.	Hiperplasia ductal terminal atípica de la mama	H. Provincial Valencia	1974-12-?
6	Rayón Martín, José Miguel	Mioepitelioma de células claras de mama	H. Provincial Valencia	1974-12-?
7	Navarro Vilanova, Tomas	Osteosarcoma paraostal	H. Provincial Valencia	1974-12-?
8	Esquerdo Máñez, José	Dos casos de tumores de glándulas sudoríparas	H. Provincial Valencia	1974-12-?
9	Sampedro Nuño, Andrés	Neurinoma gástrico. Estudio postmortem	H. Provincial Valencia	1974-12-?
10	Sampedro Nuño, Andrés	Carcinoma de células de Leydig	H. Provincial Valencia	1974-12-?
11	Ortuño Pacheco, Guzmán	Carditis reumática aguda. Estudio postmortem	H. Provincial Valencia	1974-12-?
12	Ortuño Pacheco, Guzmán	Carcinoma renal de células claras en un niño	H. Provincial Valencia	1974-12-?
13	Juan Bordón, Amparo	Meningioma de partes blandas	H. Provincial Valencia	1974-12-?

14	Alberola Carbonell, Carmen	Carcinoma apocrino de mama	H. Provincial Valencia	1974-12-?
15	Llombart Bosch, Antonio	Mixosarcoma	H. Provincial Valencia	1974-12-?
16	Gómez Fayren, José Manuel	Enfermedad de Duhring-Brocq. Estudio postmortem	H. Provincial Valencia	1974-12-?
17	Adrados Blaise Ombrech, Manuel	Gastritis políposa quística	Cartagena	1975-02-22
18	López Morales, Emiliano	Hipernefroma mixto.	Cartagena	1975-02-22
19	Rodríguez Bermejo, Manuel	Xantogranuloma retroperitoneal maligno	Cartagena	1975-02-22
20	Monzonis Torres, M ^a Carmen	Adenoma bronquial de tipo cilindromatoso	Cartagena	1975-02-22
21	Sola Pérez, Joaquín	Glioblastoma multiforme	Cartagena	1975-02-22
22	Ferrer Jimenez, Rafael	Pólips carcinoides gástricos asociados a hiperplasia de células argentafínes	Cartagena	1975-02-22
23	Tamarit Montesinos, Luis V.	Carcinoma de células acinares de glándulas salivares	Cartagena	1975-02-22
24	Llombart Bosch, Antonio	Dos casos de linfoma gástrico	Cartagena	1975-02-22
25	Muñoz Gómez, M ^a Carmen	Sarcoma epitelioide	Cartagena	1975-02-22
26	Juan Marcos, A.	Tesaurismosis lípídica hepática iatrogénica	Cartagena	1975-02-22
27	Jiménez Torres, M ^a José	Hepatopatía con cuerpos hialinos en polimalformado	Cartagena	1975-02-22
28	Abel Cortes, José Luis	Tumor tiroideo de células de Hurthle	Cartagena	1975-02-22
29	Froufe Sánchez, Agustín	Reticulosarcoma primario de cerebro	Cartagena	1975-02-22
30	Arcas Campoy, M ^a del Pilar	Mixosarcoma.	Cartagena	1975-02-22

Archivo Histórico Documental de Patología

Club de Historia de la Patología

Sociedad Española de Anatomía Patológica

CLUB DE HISTORIA DE LA PATOLOGÍA

Sociedad Española de Anatomía patológica (SEAP)

Coordinadores >> Luis Alfaro y Enrique Poblet

SeAP-IAP

[Sociedad Española de Anatomía Patológica]
[International Academy of Pathology]

Inicio

Hospitales

Documentos

Patólogos

Congresos y Reuniones

libros

Audio / Video

Búsqueda

Objetivos del Club y del Registro

Durante la XXXIX Reunión Anual de la SEAP en Madrid, en febrero de 2016, se aprobó la constitución de un nuevo Club de Historia de la Patología y un Registro Histórico Documental de Patología.

Aunque los congresos de la SEAP han contado con conferencias sobre este tema impartidas por algunos de los mas eminentes miembros de nuestra Sociedad, la conformación de un club dará oportunidad de profundizar y promover el estudio e investigación sobre nuestra historia.

La medicina y la ciencia en general, cuenta con un buen sistema organizativo para la conservación y acceso a la información científica recogida en la publicaciones científicas. Sin embargo, otro tipo de información, también de gran valor, como son imágenes gráficas, documentos no estrictamente científicos, actas, cartas personales, y otra variedad de documentos, con frecuencia quedan olvidados en archivos particulares con riesgo de perderse. El Registro Histórico Documental de Patología pretende recoger toda esta diversidad de documentos, proceder a su digitalización y ponerlos a la disposición de los miembros de la SEAP en un entorno web que facilite su accesibilidad. Es también ocasión para dar continuidad al trabajo ya realizado por parte de algunos presidentes de la SEAP al recabar información histórica y que afortunadamente ha quedado recogida en la sede de la SEAP, quizás sin el conocimiento adecuado de esa información por parte de todos los socios.

Congresos SEAP

Clubes

Territoriales

**Levante Sureste
1974-1992**



Azzopardi_John-1929-2013
Problems in breast pathology (1979)

Archivo Histórico Documental de Patología

Club de Historia de la Patología

Sociedad Española de Anatomía Patológica

CLUB DE HISTORIA DE LA PATOLOGÍA

Sociedad Española de Anatomía patológica (SEAP)

Coordinadores >> Luis Alfaro y Enrique Poblet

SEAP-IAP

[Sociedad Española de Anatomía Patológica]

[International Academy of Pathology]

Inicio

Hospitales

Documentos

Patólogos

Congresos y Reuniones

libros

Audio / Video

Búsqueda

 Cajal

4 results

Fotos

[fotos/cajal-autopsia-1915ca-.jpg](#)

Cajal autopsia ...

Fotos

[fotos/cajal-y-discipulos-1915.jpg](#)

Cajal discípulos ...

Libros

[libros/reglas_y_consejos_sobre_la_investigacion_biológica,_los_tónicos_de_la_voluntad.pdf](#)

Santiago Ramón y Cajal ...

Libros

[libros/recreaciones-estereoscopicas-y-binoculares.pdf](#)

Tipuesearch